

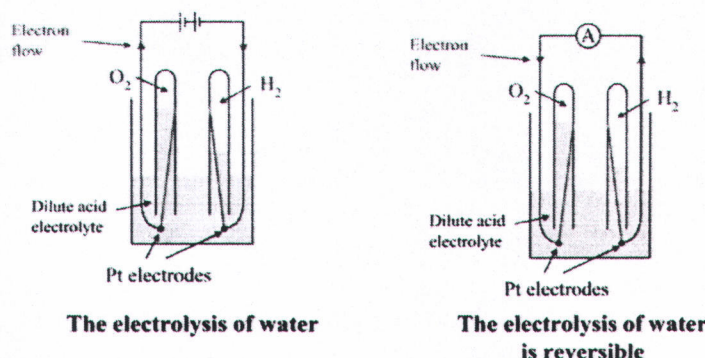
บทที่ 1
ทฤษฎีเกี่ยวข้อง

ในการทำการวิจัยเรื่องระบบจ่ายไฟฟ้ากระแสตรงแบบผสมด้วยเซลล์เชื้อเพลิง เซลล์แสงอาทิตย์ และแบตเตอรี่รันนิ่ม มีทฤษฎีที่เกี่ยวข้อง ดังนี้

- 1.1 เซลล์เชื้อเพลิง
- 1.2 เซลล์แสงอาทิตย์
- 1.3 แบตเตอรี่ชั่วคราวแบบค่าปานกลาง
- 1.4 วงจรแปลงไฟแบบกิษทางเดียวสำหรับเซลล์เชื้อเพลิงและเซลล์แสงอาทิตย์
- 1.5 วงจรแปลงไฟแบบสองกิษทางสำหรับแบตเตอรี่
- 1.6 ทฤษฎีระบบควบคุมแบบไม่เชิงเส้นโดยทฤษฎีอนุพันธ์แบบแพลต (Differential Flatness Based Control)

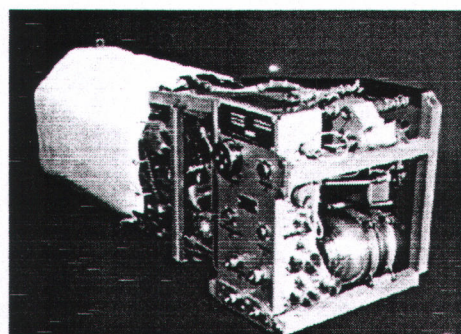
1.1 เซลล์เชื้อเพลิง

เซลล์เชื้อเพลิงได้ถูกคิดค้นและทดลองครั้งแรกเมื่อปี ค.ศ. 1838 โดย Sir William Robert Grove ศาสตราจารย์สาขาปรัชญาการทดลองที่ The Royal Institution ในกรุงลอนדון [1] จนทุกวันนี้เข้าเป็นที่รู้จัก ในฐานะบิดาแห่งเซลล์เชื้อเพลิง การทดลองของเขาริเริ่งขวนการอิเล็กโทรไลต์ (Electrolysis) โดยใช้กระแสไฟฟ้าแยกน้ำให้เป็นไฮโดรเจนและออกซิเจน นำมาซึ่งการกล่าวถึงอุปกรณ์ชิ้นหนึ่งเป็นครั้งแรก ต่อมาเรียกว่า “เซลล์เชื้อเพลิง” (Fuel Cell) เขามีสัมมุดฐานว่าจะเป็นไปได้ในการแปลงย้อนกลับ ขั้นตอนขวนการอิเล็กโทรไลต์ โดยการผลิตกระแสไฟฟ้าจากปฏิกิริยาระหว่างออกซิเจนกับไฮโดรเจน และเพื่อที่จะทดสอบทฤษฎีนี้ เขายังได้วางแผ่นแพลตินัม (Platinum) 2 แผ่น ไว้ในขวดที่ปิดแยกกัน ขวดหนึ่งมีไฮโดรเจนและอีกขวดมีออกซิเจน เมื่อขวดสองอันนี้ถูกจุ่มรวมกันด้วยกรดซัลฟูริกเจือจางทำให้เกิดการไหลของกระแสไฟฟ้าระหว่างขั้วทั้งสองและเกิดน้ำขึ้นในขวดที่บรรจุก๊าซทั้งสอง ดังแสดงในภาพที่ 1-1 เพื่อที่จะเพิ่มแรงดันต่ำที่ผลิตออกมานั้น เขายังได้ต่ออุปกรณ์เหล่านี้ในแบบอนุกรมกันและเขายังได้เรียกอุปกรณ์นี้ในขณะนั้นว่า “กําชแบตเตอรี่” ซึ่งเป็นต้นแบบของเซลล์เชื้อเพลิงในปัจจุบัน



ภาพที่ 1-1 แนวคิดเซลล์เชื้อเพลิงต้นแบบที่คิดค้นโดย Sir William Robert Grove

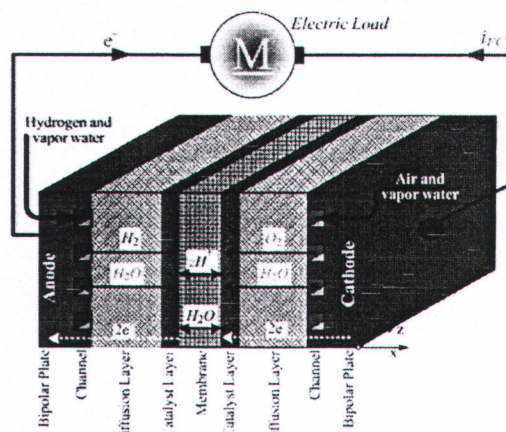
เซลล์เชื้อเพลิงคืออุปกรณ์แปลงพลังงานเคมีของเชื้อเพลิงเป็นพลังงานไฟฟ้าโดยตรง โดยไม่ก่อมลพิษ พลังงาน (อิเล็กตรอน) จะถูกส่งออกมาเมื่อเชื้อเพลิง (ไฮโดรเจน) ทำปฏิกิริยาเคมีกับออกซิเจนในอากาศและทำให้เกิดน้ำบริสุทธิ์และความร้อนควบคู่ดามมา ปฏิกิริยาไฟฟ้าเคมีได้เกิดขึ้นและพลังงานถูกส่งออกมาในรูปแบบของพลังงานไฟฟ้าคือไฟฟ้ากระแสตรงและแรงดันต่ำพร้อมกับความร้อน เซลล์เชื้อเพลิงมีอยู่หลายชนิดขึ้นอยู่กับเซลล์เชื้อเพลิงและสารอิเล็กโทรไลต์ (electrolyte) ที่ใช้งาน เซลล์เชื้อเพลิงชนิดที่มีน้ำหนักเบา ง่ายต่อการผลิต และมีขนาดเล็ก คือเซลล์เชื้อเพลิงชนิดโพลิเมอร์อิเล็กโทรไลต์เมมเบรน (Polymer Electrolyte Membrane: PEMFC) [2] ผลิตเป็นครั้งแรกโดยบริษัท General Electric (GE) และถูกนำไปใช้โดยองค์กรอวกาศนาชา ในปีช่วงปี ค.ศ. 1960 ในส่วนหนึ่งของโครงการอวกาศเจอร์มินี (Gemini space program) ดังแสดงในภาพที่ 1-2 ในปัจจุบันเซลล์เชื้อเพลิงชนิดนี้กำลังถูกนำไปใช้งานมากขึ้นในรถยนต์และรถไฟ เพราะมีน้ำหนักเบาและทำงานที่อุณหภูมิต่ำ



ภาพที่ 1-2 เซลล์เชื้อเพลิง 12 kW สำหรับสถานีอวกาศของนาชา

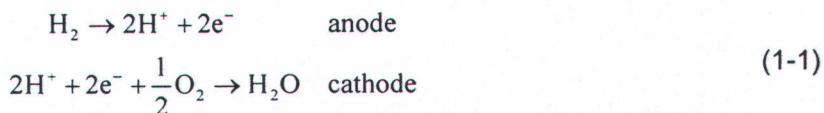
1.1.1 หลักการทำงานของเซลล์เชื้อเพลิง

โครงสร้างของเซลล์เชื้อเพลิงชนิด PEM แสดงในภาพที่ 1-3 [3] ก้าชซึ่งใหม่ตามทิศทาง x มาจากซองที่ถูกออกแบบเป็นแผ่นแบบสองขั้ว (หนา 1-10 mm) ไอน้ำถูกนำมารวมกับก้าชเพื่อให้ความชื้นกับเมมเบรน ชั้นการกระจายด้วย (diffusion layers: 100-500 μm) มีไว้เพื่อการแพร่กระจายที่ดีของก้าชไปยังชั้นปฏิกิริยา (reaction layers : 5-50 μm) ชั้นเหล่านี้ได้ประกอบด้วยขั้วไฟฟ้าของเซลล์ซึ่งทำด้วยแพลตินัมทำหน้าที่เป็นตัวเร่งปฏิกิริยา



ภาพที่ 1-3 ชั้นต่างๆ ของเซลล์พื้นฐานในเซลล์เชื้อเพลิงชนิด PEM

การทำปฏิกิริยาของไฮโดรเจนและออกซิเจนคือ



ถูกแยกจากกันโดยเมมเบรน ($20-200 \mu\text{m}$) ชึ่งนำ proton ออกจากขั้วแอดโโนด (Anode) ไปขั้วแคโตด (Cathode) ซึ่งอิเล็กตรอนไม่สามารถทะลุผ่านไปได้ การเคลื่อนที่ของ proton ได้ดึงโมเลกุลของน้ำมาด้วยทำให้เกิดการกระจายของความชื้นในเมมเบรน โมเลกุลของน้ำสามารถแพร่กระจายไปได้ทั้งสองพิษทางภายนอกเมมเบรน ตามฝั่งที่ก้ามีความชื้นมากและตามความหนาแน่นของกระแสไฟฟ้า ซึ่งสัมพันธ์กันโดยตรงกับการไหลของ proton ผ่านเมมเบรนและโดยตรงกับการปริมาณน้ำที่ผลิตในฝั่งแคโตด อิเล็กตรอนที่เกิดขึ้นในฝั่งแอดโโนดนั้นไม่สามารถผ่านเมมเบรนและได้ถูกใช้ในวงจรไฟฟ้าภายนอกเช่น มอเตอร์ หลอดไฟ อื่นๆ ก่อนย้อนกลับสู่แคโตด การไหลของอิเล็กตรอนหรือเรียกว่ากระแสไฟฟ้านั้น สัมพันธ์โดยตรงกับความหนาแน่นของกระแสไฟฟ้า

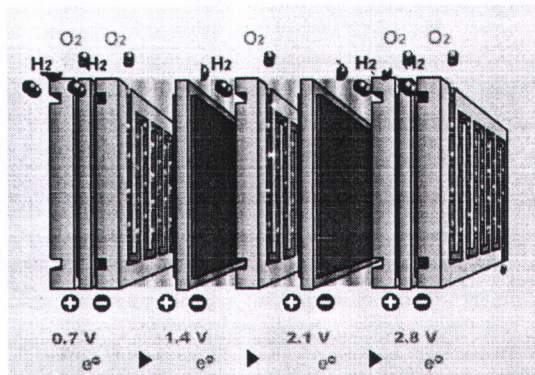
$$J_{\text{H}^+} = \frac{i}{F} \quad (1-2)$$

F คือ ค่าคงที่ของฟาราเดีย (Faraday)

ค่าแรงดันเอาต์พุตของเซลล์หนึ่งเซลล์จากพลังงานปลดปล่อยอิสระของกิบบ์ (Gibb's free energy ΔG) คือ

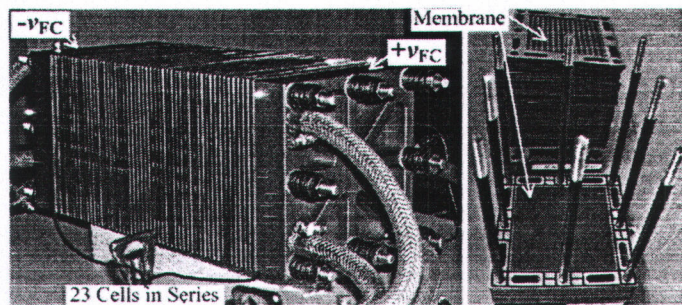
$$V_{\text{rev}} = -\frac{\Delta G}{2F} = 1.23 \text{ V} \quad (1-3)$$

ซึ่งแรงดันนี้ไม่เคยได้ถึงค่าทางทฤษฎี แม้กระทั่งในสภาพที่ไม่มีโหลด แรงดันของเซลล์เชือเพลิงหนึ่งเซลล์ที่พิสดาร (ประมาณ 0.5 A.cm^{-2}) มีค่าประมาณ $0.6 - 0.7 \text{ V}$ ดังนั้นเซลล์เชือเพลิงได้ถูกสร้างโดยนำเซลล์มาต่ออนุกรมกัน โดยประกอบเป็นชั้นๆ ดังภาพที่ 1-4 เพื่อที่จะเพิ่มแรงดันให้สูงขึ้น

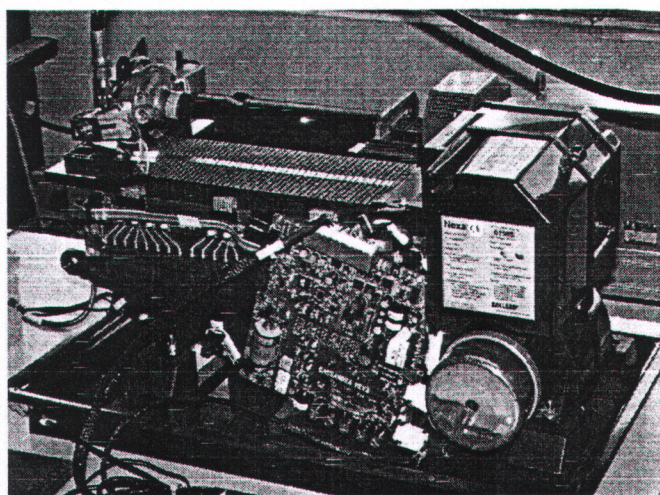


ภาพที่ 1-4 การต่อเซลล์แบบอนุกรมของเซลล์เชือเพลิงเพื่อเพิ่มแรงดัน

ด้วยการอนุกรรมเซลล์เชื้อเพลิงชนิด PEM ที่มี 23 เซลล์ต่ออนุกรรม ขนาด 500 W, 40 A ประมาณ 13 V ออกแบบและผลิตโดย Centre for Solar Energy and Hydrogen Research Baden-Württemberg (ZSW) ประเทศเยอรมัน เซลล์เชื้อเพลิงนี้ปัจจุบันถูกนำไปใช้ในงานวิจัยที่ Nancy Research Group in Electrical Engineering (GREEN) ประเทศฝรั่งเศส ดังแสดงในภาพที่ 1-5 และ เซลล์เชื้อเพลิงชนิด PEM ที่มี 47 เซลล์ต่ออนุกรรมขนาด 1200 W, 46 A ประมาณ 26 V (น้ำหนัก: 13 กิโลกรัม ขนาดความยาว: 56 เซนติเมตร กว้าง: 25 เซนติเมตร สูง: 33 เซนติเมตร) ออกแบบและผลิตโดย Ballard Power System ประเทศแคนนาดา เซลล์เชื้อเพลิงนี้ปัจจุบันถูกนำไปใช้ในงานวิจัยที่สถาบันเทคโนโลยีไทย-ฝรั่งเศส มหาวิทยาลัยเทคโนโลยีพระจอมเกล้าพระนครเหนือ ดังแสดงในภาพที่ 1-6



ภาพที่ 1-5 เซลล์เชื้อเพลิงชนิด PEM ที่มี 23 เซลล์ต่ออนุกรรม

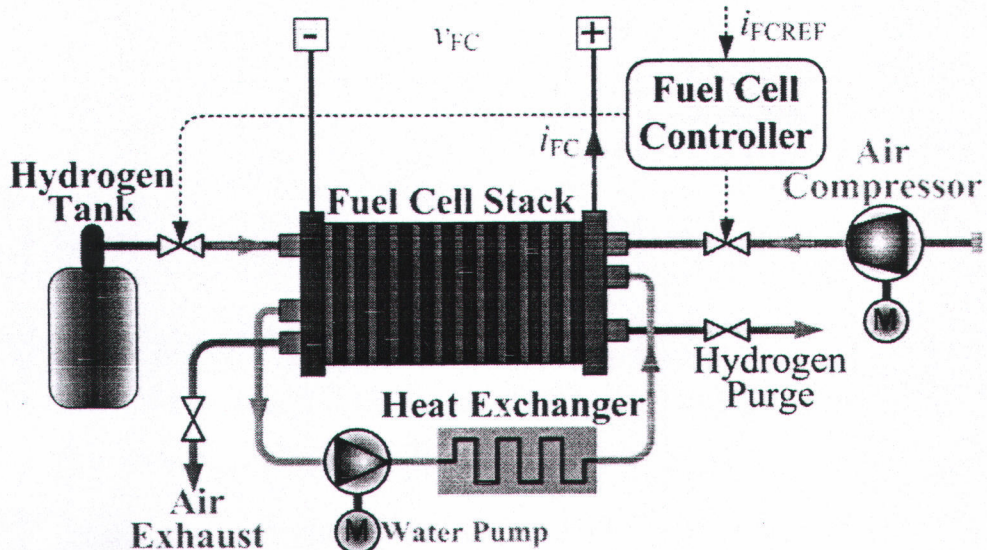


ภาพที่ 1-6 เซลล์เชื้อเพลิงชนิด PEM ที่มี 47 เซลล์ต่ออนุกรรม

1.1.2 ระบบเซลล์เชื้อเพลิง

ระบบเซลล์เชื้อเพลิงมีความจำเป็นในการทำงานของเซลล์เชื้อเพลิง [4], [5] เช่น การป้อนก๊าซและการระบายความร้อนให้กับเซลล์เชื้อเพลิง ดังนั้นระบบเซลล์เชื้อเพลิงจึงประกอบด้วยอุปกรณ์ดังๆ ภาพที่ 1-7 แสดงระบบอย่างง่ายของเซลล์เชื้อเพลิงชนิด PEM ประกอบด้วยถังไฮโดรเจน ตัวควบคุม

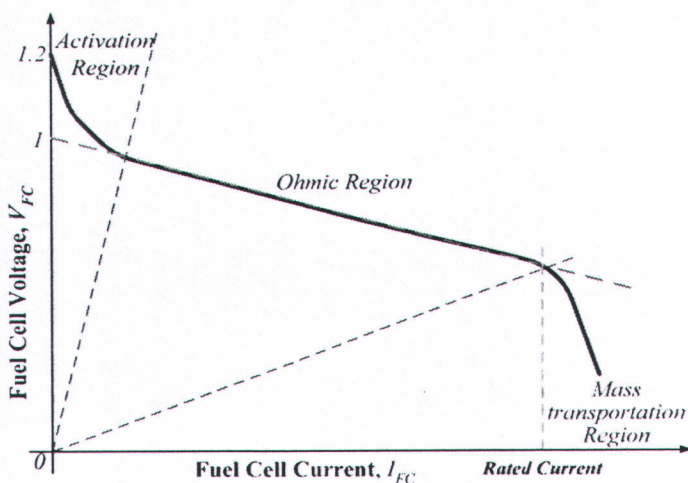
ความชื้นవाल์ว ดั้วยน้ำยาและแก่เปลี่ยนความร้อน ซึ่ง V_{FC} คือแรงดันของเซลล์เชื้อเพลิง i_{FC} คือกระแสของเซลล์เชื้อเพลิง i_{FCREF} คือกระแสอังกฤษของเซลล์เชื้อเพลิงเพื่อควบคุมการจ่ายไฮโดรเจนและการ



ภาพที่ 1-7 ระบบเซลล์เชื้อเพลิงชนิด PEM

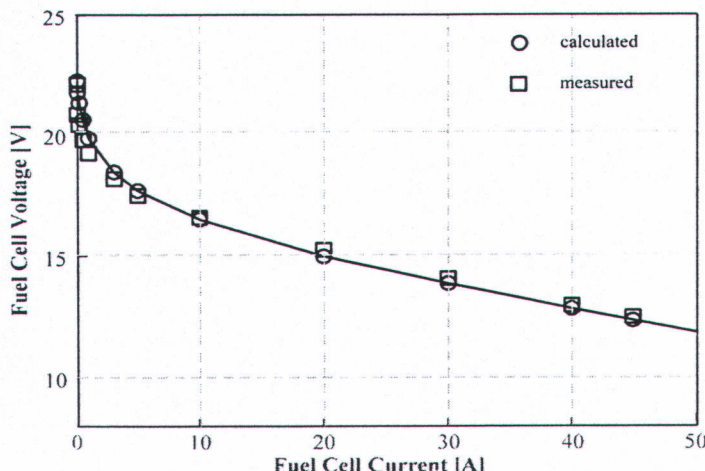
ภาพที่ 1-8 แสดงแรงดันไฟฟ้าของเซลล์เชื้อเพลิงในพังก์ชันของกระแสไฟฟ้า [6] กราฟที่ได้ประกอบด้วยสามส่วนหลัก คือ

- ปรากฏการณ์ระดับปฏิกิริยาเคมีไฟฟ้า
- ส่วนที่เป็นเชิงเส้นที่แรงดันตก มีสาเหตุจากความต้านทานภายใน
- ส่วนสุดท้ายคือพลังงานจนในการแตกตัวของก๊าซผ่านอิเล็กโทรด กลไกเป็นปัจจัยสำคัญทำให้แรงดันตกอย่างมาก



ภาพที่ 1-8 กราฟแรงดันต่อกระแสของเซลล์เชื้อเพลิงหนึ่งเซลล์ชนิด PEM

ภาพที่ 1-9 แสดงการเปรียบเทียบผลทดลองกับผลคำนวณที่ได้จากการตัวแปรต่างๆ ของเซลล์เชื้อเพลิง (ดังแสดงในภาพที่ 1-5) จะสังเกตได้ว่าประสิทธิภาพทางไฟฟ้าของเซลล์เชื้อเพลิงคือ 50 เปอร์เซ็นต์ เมื่อจากแรงดันไฟฟ้าต่ำจาก 23 V ที่ไม่มีโหลดเป็น 13 V ที่พิกัดกำลัง 500 W



ภาพที่ 1-9 ลักษณะสมบัติสภาวะอยู่ด้วยของเซลล์เชื้อเพลิงขนาด 500 W

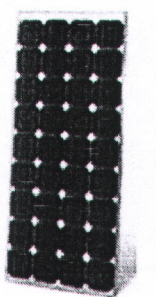
1.2 เซลล์แสงอาทิตย์ (หรือโซล่าเซลล์)

1.2.1 เซลล์แสงอาทิตย์

เป็นสิ่งประดิษฐ์ที่ทำจากสารกึ่งด้วนนำ เช่นซิลิคอน (Silicon) แกลเลียม อาร์เซไนด์ (Gallium Arsenide) อินเดียมฟอสฟิด (Indium Phosphide) แคดเมียมเทลเลอไรด์ (Cadmium Telluride) และคอปเปอร์อินเดียมไดเซเลอไนด์ (Copper Indium Diselenide) เป็นต้น ซึ่งเมื่อได้รับแสงอาทิตย์โดยตรงก็จะเปลี่ยนเป็นพาหะนำไฟฟ้าและจะถูกแยกเป็นประจุไฟฟ้าบวกและประจุไฟฟ้าลบเพื่อให้เกิดแรงดันไฟฟ้าที่ขึ้นทั้งสองของเซลล์แสงอาทิตย์ เมื่อนำขึ้นไฟฟ้าของเซลล์แสงอาทิตย์ด้วยเข้ากับอุปกรณ์ไฟฟ้ากระแสตรง กระแสไฟฟ้าจะไหลเข้าสู่อุปกรณ์เหล่านั้น ทำให้สามารถทำงานได้

1.2.2 ชนิดของเซลล์แสงอาทิตย์

แบ่งตามวัสดุที่ใช้เป็น 3 ชนิดหลัก ๆ คือ



Single Crystalline Silicon Solar Cell



Polycrystalline Silicon Solar Cell



Amorphous Silicon Solar Cell

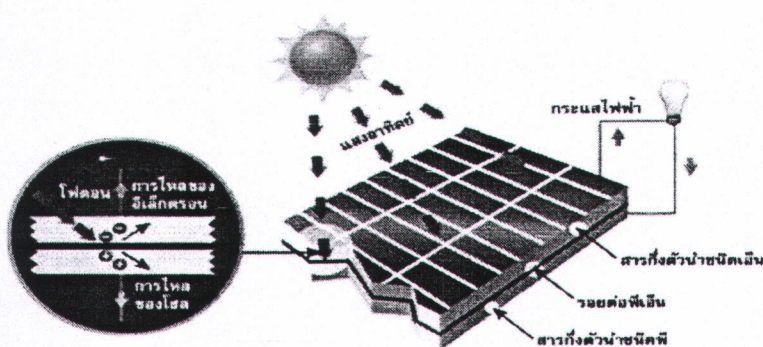
ภาพที่ 1-10 ชนิดของเซลล์แสงอาทิตย์

- Single Crystalline Silicon Solar Cell เซลล์แสงอาทิตย์ที่ทำจากซิลิโคนชนิดผลึกเดียว (Single Crystalline Silicon Solar Cell) หรือที่รู้จักกันในชื่อ Monocrystalline Silicon Solar Cell และชนิดผลึกรวม (Polycrystalline Silicon Solar Cell) ลักษณะเป็นแผ่นซิลิโคนแข็งและบางมาก
- Polycrystalline Silicon Solar Cell เซลล์แสงอาทิตย์ที่ผลิตจากอะมอร์ฟัสซิลิโคน (Amorphous Silicon Solar Cell) ลักษณะเป็นฟิล์มบางเพียง 0.5 ไมครอน (0.0005 มิลลิเมตร) น้ำหนักเบามากและประสิทธิภาพเพียง $5-10$ เปอร์เซ็นต์
- Amorphous Silicon Solar Cell เซลล์แสงอาทิตย์ที่ทำจากสารกึ่งตัวนำอิเล็กทรอนิกส์ เช่น แกลเลียม อาร์เซไนด์ แคดเมียม เทลเลอไวร์ด และคอปเปอร์ อินเดียม ไดเซเลไนด์ เป็นต้น มีทั้งชนิดผลึกเดียว (Single Crystalline) และผลึกรวม (Polycrystalline) เซลล์แสงอาทิตย์ที่ทำจากแกลเลียมอาร์เซไนด์ จะให้ประสิทธิภาพสูงถึง $20-25$ เปอร์เซ็นต์

1.2.3 โครงสร้างของเซลล์แสงอาทิตย์

มีลักษณะโครงสร้างแบบรอยต่อพีเอ็นของสารกึ่งตัวนำ ซิลิโคนจึงถูกนำมาสร้างเซลล์แสงอาทิตย์ โดยนำซิลิโคนมาคลุกและผ่านขั้นตอนการทำให้บริสุทธิ์จนกระหึ่มทำให้เป็นผลึก จากนั้นนำมาผ่านกระบวนการแพร่ชื้มสารเจือปนเพื่อสร้างรอยต่อพีเอ็น โดยเมื่อเดิมสารเจือปนจะเป็นสารกึ่งตัวนำชนิดอ่อน เพาะนำไฟฟ้าด้วยอิเล็กตรอนซึ่งมีประจุลบ เมื่อเดิมสารเจือปนจะเป็นสารกึ่งตัวนำชนิดพี ดังนั้นมี่อนำสารกึ่งตัวนำชนิดพีและเอนมาต่อ กัน จะเกิดรอยต่อพีเอ็นขึ้น โครงสร้างของเซลล์แสงอาทิตย์นี้จะมีรูปร่างเป็นแผ่นวงกลม หรือสี่เหลี่ยมจัตุรัสความหนา $200-400$ ไมครอน ($0.2-0.4$ มิลลิเมตร) ผิวด้านรับแสงจะมีชั้นแพร่ชื้มที่มี การนำไฟฟ้า ข้าไฟฟ้าด้านหน้าที่รับแสงจะมีลักษณะคล้ายก้างปลาเพื่อให้ได้พื้นที่รับแสงมากที่สุด ส่วนข้าไฟฟ้าด้านหลังเป็นข้าโลหะเดิมพื้นผิว

1.2.4 หลักการทำงานทั่วไปของเซลล์แสงอาทิตย์



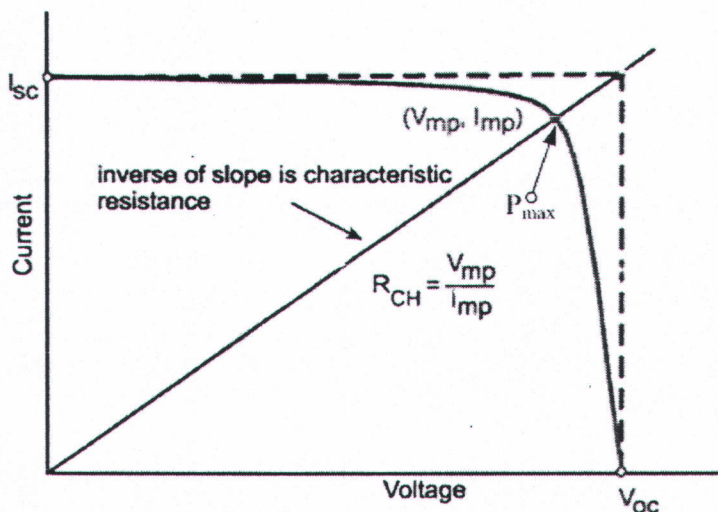
ภาพที่ 1-11 การทำงานของเซลล์แสงอาทิตย์

เมื่อมีแสงอาทิตย์ตกกระทบเซลล์แสงอาทิตย์ จะเกิดการสร้างพานะนำไฟฟ้าประจุลบและประจุบวกขึ้น ได้แก่อิเล็กตรอนและโอล โครงสร้างรอยต่อของสารพีเอ็นจะทำหน้าที่สร้างสนามไฟฟ้าขึ้น

ภายในเซลล์เพื่อแยกพาระนาไฟฟ้าชนิดอิเล็กตรอนไปที่ข้างลับ และพาระนาไฟฟ้าชนิดโอลไปที่ข้างบวก ปกติที่ฐานจะใช้สารกึ่งด้านนำชนิดพี ข้าไฟฟ้าด้านหลังจึงเป็นข้างบวก ส่วนด้านรับแสงใช้สารกึ่งด้านนำชนิดเอ็น ข้าไฟฟ้าจึงเป็นข้างลับทำให้เกิดแรงดันไฟฟ้าแบบกระแสตรงที่ข้าไฟฟ้าหันสองข้า เมื่อต่อครบวงจรจะเกิดกระแสไฟฟ้าไหลขึ้น

1.2.5 คุณสมบัติกระแสและแรงดันของเซลล์แสงอาทิตย์

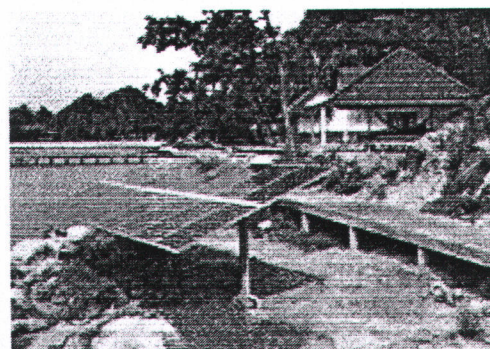
การทำงานของเซลล์แสงอาทิตย์นั้น ในขณะที่เซลล์แสงอาทิตย์จ่ายกระแสเพิ่มขึ้นค่าแรงดันจะค่อย ๆ ลดลงจนถึง 0 V ซึ่งจะทำให้ไม่สามารถจ่ายแรงดันคงที่ได้ จึงต้องใช้การทำงานของเซลล์แสงอาทิตย์ที่อยู่ในช่วงค่าแรงดันไม่ต่ำกว่าจนเกินไป โดยจะมีจุดที่เซลล์แสงอาทิตย์ทำงานได้สูงสุด (P_{\max}) ดังภาพที่ 1-12 แสดงกราฟลักษณะสมบัติการทำงานของเซลล์แสงอาทิตย์ที่จะจ่ายกระแสและแรงดันให้กับโหลด โดยจะมีจุดที่ทำให้สามารถจ่ายกำลังงานได้สูงสุดที่จุด P_{\max}



ภาพที่ 1-12 กราฟลักษณะสมบัติของเซลล์แสงอาทิตย์

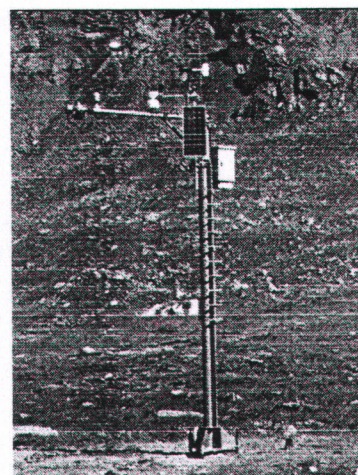
1.2.6 ระบบจ่ายกำลังไฟฟ้าโดยเซลล์แสงอาทิตย์ มี 4 ระบบใช้งานดังนี้ [7]

1.2.6.1 ระบบจ่ายไฟสำหรับที่พักอาศัยที่เป็นอิสระ (Off-grid domestic) ระบบนี้จ่ายไฟสำหรับให้บ้านเรือนและหมู่บ้าน ระบบไฟฟ้านี้ไม่ต่อเข้าระบบไฟฟ้าของภายนอก โดยเซลล์แสงอาทิตย์ผลิตไฟฟ้าสำหรับแสงสว่าง ดูเย็นและอุปกรณ์ไฟฟ้าอื่นๆ ที่กำลังต่ำๆ และจากข้อมูลหลายๆ ประเทศที่มีระบบจ่ายไฟแบบนี้ จะมีกำลังไฟฟ้าอยู่ประมาณ 1000 W และเป็นทางเลือกทางหนึ่งในการประหยัดและช่วยระบบจ่ายไฟหลักสำหรับบ้านหรือหมู่บ้านที่อยู่ห่างจากระบบจ่ายไฟหลักมากกว่า 1 ถึง 2 กิโลเมตร ในภาพที่ 1-13 แสดงด้วยการติดตั้งเซลล์แสงอาทิตย์ สำหรับที่พักอาศัยที่เกาะจัม หมู่เกาะช้าง จังหวัดตราด โดยไม่ต่อเข้ากับระบบจ่ายไฟของภายนอก ขนาด 2.5 kW โดยใช้แผงเซลล์แสงอาทิตย์ของบริษัทเอกอร์จูโซล่า



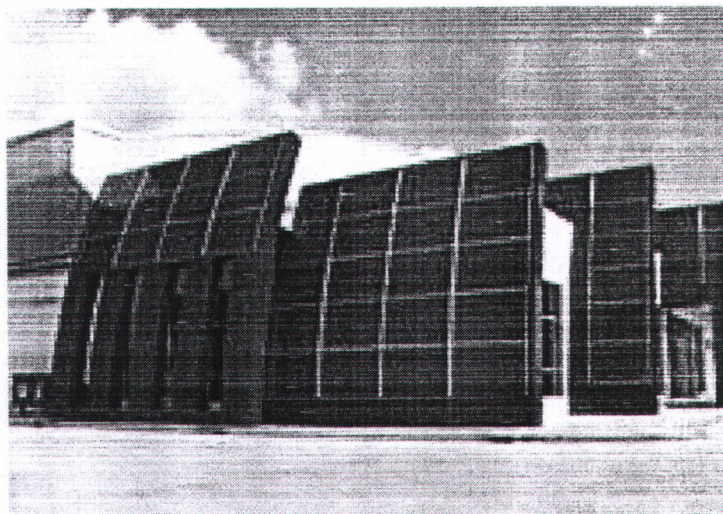
ภาพที่ 1-13 ระบบเซลล์แสงอาทิตย์สำหรับที่พักอาศัยที่ทางงาม จังหวัดตราด

1.2.6.2 ระบบจ่ายไฟสำหรับไม่ใช่ที่พักอาศัยที่ไม่ต่อเข้าระบบจ่ายไฟของการไฟฟ้า (*Off-grid non-domestic*) ระบบจ่ายไฟแบบนี้ถือได้ว่าเป็นงานที่มีการประยุกต์ใช้งานแรกทางด้านการค้าที่ใช้งานบนโลก เพราเดิมที่นั้นระบบจ่ายไฟด้วยเซลล์แสงอาทิตย์มีใช้งานมานานแล้วในยานหรือกระสวยอากาศ มีงานจำนวนมากที่ต้องการระบบจ่ายไฟจากเซลล์แสงอาทิตย์แบบนี้ เช่น ระบบสื่อสาร ปั๊มน้ำ ตู้แขวนชีวิต หรือระบบนำร่อง งานเหล่านี้ไม่ต้องการกำลังไฟฟ้าสูงมากนัก แต่มีความจำเป็นต้องการกำลังไฟฟ้าจ่ายไฟเลี้ยงระบบ ทำให้ระบบจ่ายไฟด้วยเซลล์แสงอาทิตย์นี้สามารถแข่งขันกับระบบจ่ายไฟกำลังต่ำด้วยแหล่งจ่ายอื่นได้ ซึ่งภาพที่ 1-14 แสดงระบบไฟเลี้ยงด้วยเซลล์แสงอาทิตย์สำหรับระบบนำร่องเครื่องบินในประเทศไทยเชอร์แลนด์



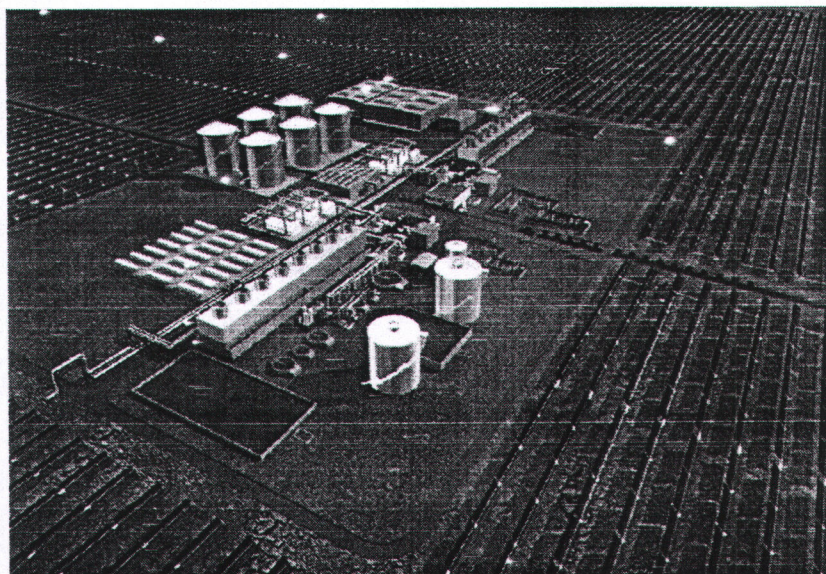
ภาพที่ 1-14 ระบบเซลล์แสงอาทิตย์สำหรับระบบนำร่องเครื่องบินในประเทศไทยเชอร์แลนด์

1.2.6.3 ระบบจ่ายไฟที่ต่อเข้าระบบ (*Grid Connected*) ระบบเซลล์แสงอาทิตย์แบบนี้ถูกดัดตั้งเพื่อจ่ายไฟฟ้าเข้ากับระบบให้ผู้บริโภคหรือต่อโดยตรงเข้ากับระบบไฟของการไฟฟ้า โดยเฉพาะอย่างยิ่งในพื้นที่ของระบบไฟฟ้าที่มีวงพื้นที่จำกัดผู้บริโภคแทนที่จะเป็นระบบจ่ายไฟขนาดใหญ่ ขนาดของระบบนี้ไม่เป็นที่แน่นอน อาจจะมีขนาดถึง 1 MW ที่ดัดตั้งบนหลังคาบ้านพักอาศัย ซึ่งในภาพที่ 1-15 แสดงระบบเซลล์แสงอาทิตย์ที่ต่อไฟเข้ากับระบบ (*Grid Connected*) ที่โรงงานของบริษัทเอกรัฐโซล่า ที่จังหวัดระยอง มีขนาด 8.28 kW โดยใช้แผงเซลล์แสงอาทิตย์ของบริษัทเอกรัฐโซล่า



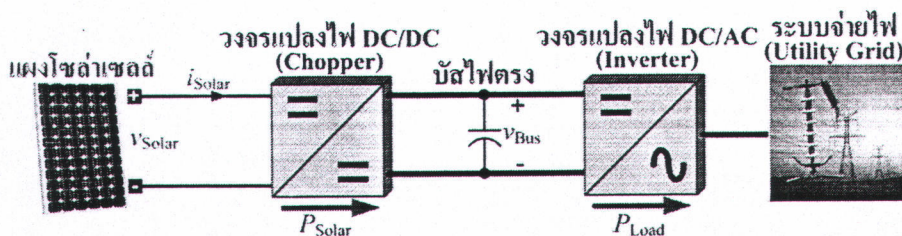
ภาพที่ 1-15 ระบบโซล่าเซลล์ที่ต่อไฟเข้ากับระบบ (Grid Connected)

1.2.6.4 ระบบจ่ายไฟแบบศูนย์กลางที่ต่อเข้าระบบ (*Grid Connected*) ระบบนี้ทำหน้าที่เป็นศูนย์กลางการจ่ายไฟหรือโรงไฟฟ้าเซลล์แสงอาทิตย์หรือสนามเซลล์แสงอาทิตย์ กำลังไฟฟ้าแบบนี้จะไม่จ่ายไฟให้กับกลุ่มผู้บริโภคกลุ่มใดโดยเฉพาะ เป็นการจ่ายไฟเข้าระบบใหญ่ ดังแสดงในภาพที่ 1-16 เป็นสนามเซลล์แสงอาทิตย์ที่ใหญ่ที่สุดในโลก กำลังสร้างขึ้นที่รัสเซีย ประเทศสหรัฐอเมริกา สามารถผลิตกำลังไฟฟ้าได้ 280 MW ซึ่งจ่ายไฟสำหรับบ้านได้ 70,000 หลังคาเรือน



ภาพที่ 1-16 สนามเซลล์แสงอาทิตย์ที่ใหญ่ที่สุดในโลก

เซลล์แสงอาทิตย์กำเนิดไฟฟ้ากระแสตรงดังนั้นมีความจำเป็นต้องแปลงระดับไฟตรงเป็นระดับไฟตรงที่ต้องการ ก่อนด้วยวงจรแปลงไฟที่เรียกว่า “ช้อปเปอร์” (DC/DC Converter) หลังจากนั้นจึงต้องมีดัวแปลงไฟตรงเป็นไฟสลับ เรียกว่า “อินเวอร์เตอร์” (Inverter, DC/AC Converter) จ่ายไฟฟ้าให้ผู้บริโภคหรือต่อเข้ากับระบบจ่ายไฟของ电网 ดังแสดงในภาพที่ 1-17

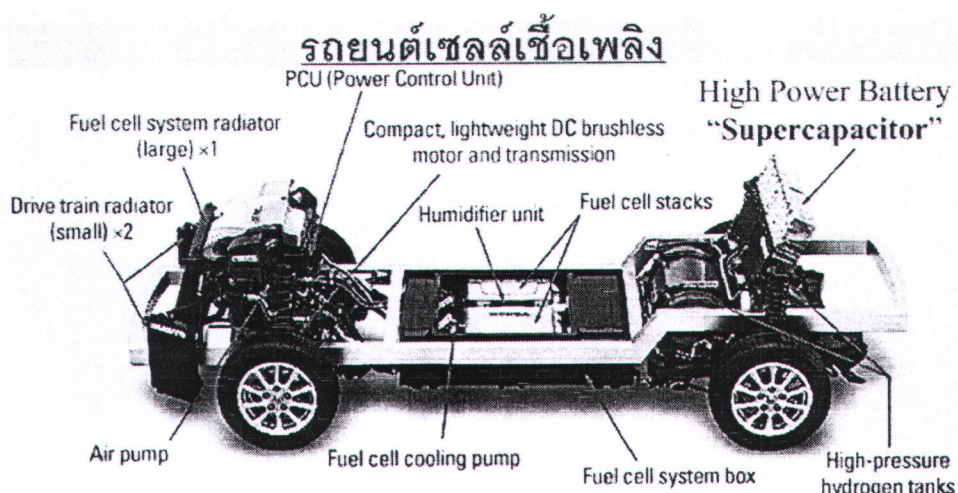


ภาพที่ 1-17 ระบบส่งจ่ายไฟด้วยเชลล์แสงอาทิตย์

1.3 แบตเตอรี่ชั่วคราวแบบค่าปานิชية

ตั้งแต่ต้นทศวรรษที่ 90 ชูปเปอร์ค่าปานิชีเตอร์เป็นอุปกรณ์ชนิดใหม่สำหรับนำไปใช้กับงานกำลังไฟฟ้าที่สูงได้เริ่มถูกผลิตขึ้น [8] หน่วยความจุของค่าปานิชีเตอร์จะมีหน่วย ฟาราดส์ (Farads) ปัจจุบันความจุของชูปเปอร์ค่าปานิชีเตอร์มีค่าสูงมากถึงเป็น “พันฟาราดส์” โดยมีระดับความจุของพลังงานที่ประมาณ $5 \text{ Wh}\cdot\text{kg}^{-1}$ ซึ่งมีความจุเป็นล้านเท่าเมื่อเปรียบเทียบกับค่าปานิชีเตอร์ชนิดอิเล็กโทรไลต์ (เป็นค่าปานิชีเตอร์ที่ใช้ในงานวงจรอิเล็กทรอนิกส์) แต่ชูปเปอร์ค่าปานิชีเตอร์หนึ่งเซลล์จะทนต่อแรงดันไฟฟ้าได้น้อยไม่เกิน 3 V นอกจากนี้กระบวนการทางไฟฟ้าสถิตของอุปกรณ์ชนิดนี้ ต้องพยายามลดค่าความด้านทานภายในให้น้อยที่สุด ทำให้ได้ระดับกำลังงาน $\text{kW}\cdot\text{kg}^{-1}$ ที่สูง ในปริมาณมากกว่า 2 เท่าเมื่อเปรียบเทียบกับแบตเตอรี่แบบดั้งเดิม [9]

ส่วนประกอบที่ใหม่ของอุปกรณ์เก็บพลังงานชนิดนี้ ช่วยเติมเต็มช่องว่างระหว่างค่าปานิชีเตอร์ชนิดอิเล็กโทรไลต์กับแบตเตอรี่แบบเดิม และยังทำให้เกิดการจัดการพลังงานไฟฟ้าในแหล่งจ่ายไฟฟ้าแบบผสม แหล่งจ่ายแบบนี้จะใช้ชูปเปอร์ค่าปานิชีเตอร์เป็นแหล่งพลังงานสำรองควบคู่ไปกับแหล่งจ่ายพลังงานหลัก จากหลักการดังกล่าวจะรวมเอาข้อดีของเทคโนโลยีในการเก็บสะสมพลังงานคือระดับปริมาณพลังงาน และกำลังไฟฟ้าที่มีมากพอสำหรับการใช้งานที่ยาวนาน อีกทั้งลดปริมาตรและน้ำหนักของแหล่งจ่ายให้น้อยที่สุด ภาพที่ 1-18 แสดงรถยนต์ไฮโดรเจน (รถยนต์เชลล์เชือเพลิง) ดันแบบที่มีชูปเปอร์ค่าปานิชีเตอร์เป็นแหล่งจ่ายไฟสำรองให้กับระบบ



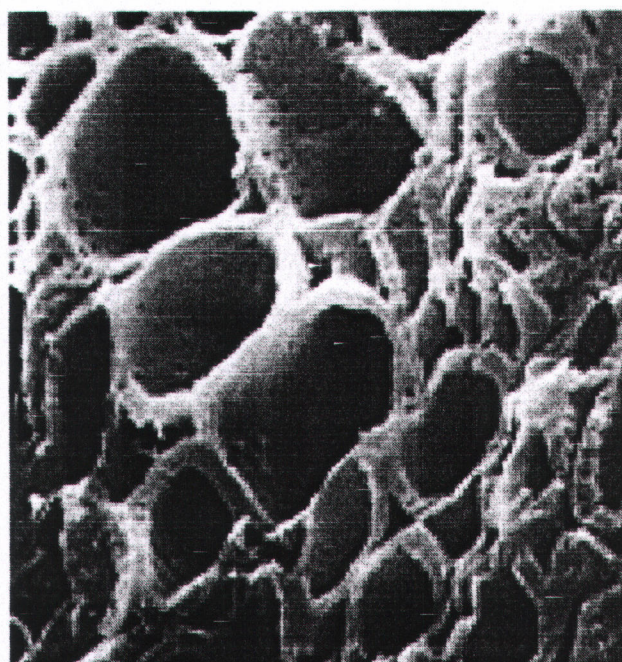
ภาพที่ 1-18 แนวคิดรถยนต์เชลล์เชือเพลิงในอนาคต

1.3.1 หลักการทำงานของชุบเปอร์คาป่าชีเตอร์

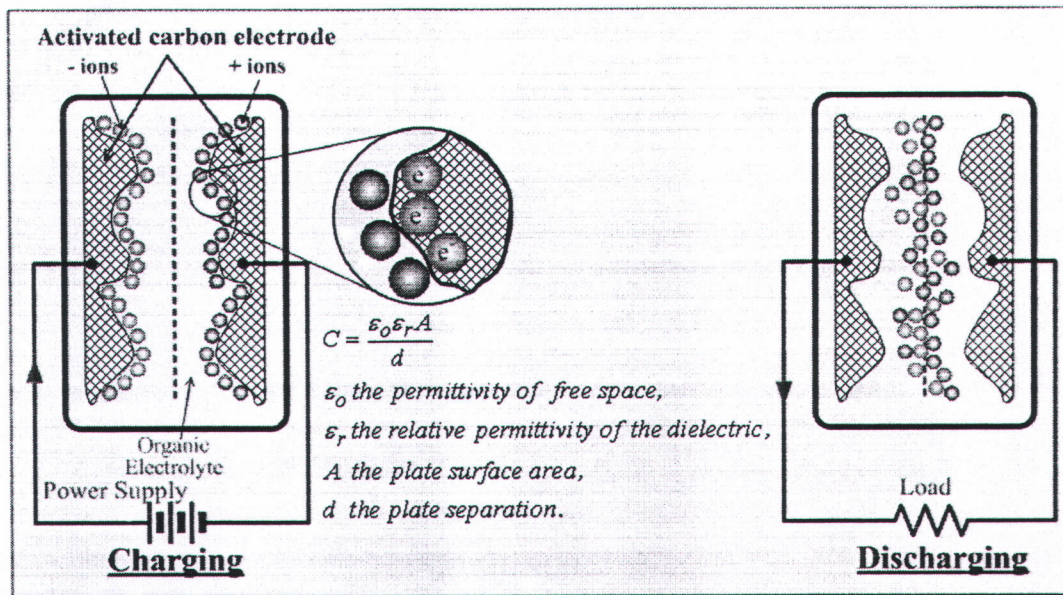
เป็นหลักการพื้นฐานของคาป่าชีเตอร์แบบประจุไฟฟ้า 2 ชั้น (Electric Double-Layer) จากคุณสมบัติประจุไฟฟ้าระหว่างตัวนำไฟฟ้านิดแข็งกับตัวนำประจุไฟฟ้าของเหลว คุณสมบัตินี้ถูกค้นพบในปี ค.ศ. 1853 โดย Helmholtz (นักวิทยาศาสตร์ที่ยิ่งใหญ่และผู้คิดสูตรทฤษฎีเทอร์โมไดนามิกส์ ในศตวรรษที่ 19) การเก็บพลังงานได้จากพื้นที่ถ่ายเทประจุระหว่างของแข็งกับของเหลวภายในไดไฟฟ้าสถิต จากร่องดันไฟฟ้าที่จ่ายให้พื้นที่ถ่ายเทประจุนี้เรียกว่าประจุไฟฟ้า 2 ชั้น มีความหนาจำกัดในระดับนาโนเมตร ตามหลักฟิสิกส์ชุบเปอร์คาป่าชีเตอร์ก็คือตัวเก็บประจุไฟฟ้า (Capacitor) ที่รู้จักกันทั่วๆ ไป การเก็บสะสมพลังงานใช้หลักการของไฟฟ้าสถิต ไม่ใช่แบบไฟฟ้าเคมีที่ใช้กับแบตเตอรี่จึงทำให้ตัดกัยภาพของชุบเปอร์คาป่าชีเตอร์สูงขึ้น วัสดุไดอิเล็กทริกส์ประกอบด้วยโมเลกุลความเข้มสูง อย่างแรกทำให้มีค่าความจุที่สูง (ระหว่าง $10 \mu\text{F}\cdot\text{cm}^{-2}$ ถึง $30 \mu\text{F}\cdot\text{cm}^{-2}$) แต่ทนแรงดันได้ดี (ประมาณ 2.5 V สำหรับสารละลายชนิดօแกนิก (organic solvent)) เนื่องจากถูกจำกัดด้วยการแยกตัวของสารละลาย

เพื่อรักษาข้อดีของหลักการประจุไฟฟ้า 2 ชั้นในด้านพลังงานและความจุไฟฟ้า จึงจำเป็นที่จะต้องเพิ่มพื้นที่ผิวสัมผัสระหว่างอิเล็กโทรดกับอิเล็กโทรไลต์ โดยไม่เพิ่มปริมาตรมากเกินไปเพื่อให้ได้ความจุประสงค์นี้ จึงมีการใช้วัสดุอิเล็กโทรดแบบมีโพรงที่มีพื้นที่ผิวสัมผัสน้ำหนักมาก เทคโนโลยีที่ใช้กันแพร่หลายมากที่สุดโดยการใช้แอคทีฟคาร์บอน ดังแสดงในภาพที่ 1-19 ที่ทำให้พื้นที่ผิวสัมผัสมีมากกว่า $1000 \text{ m}^2\cdot\text{g}^{-1}$ จนถึง $3000 \text{ m}^2\cdot\text{g}^{-1}$ และทำให้ได้ความจุสูงหลายร้อยพาราตัลส์ต่อหนึ่งเซลล์ดังแสดงในภาพที่ 1-20 และ 1-21 ประกอบด้วย

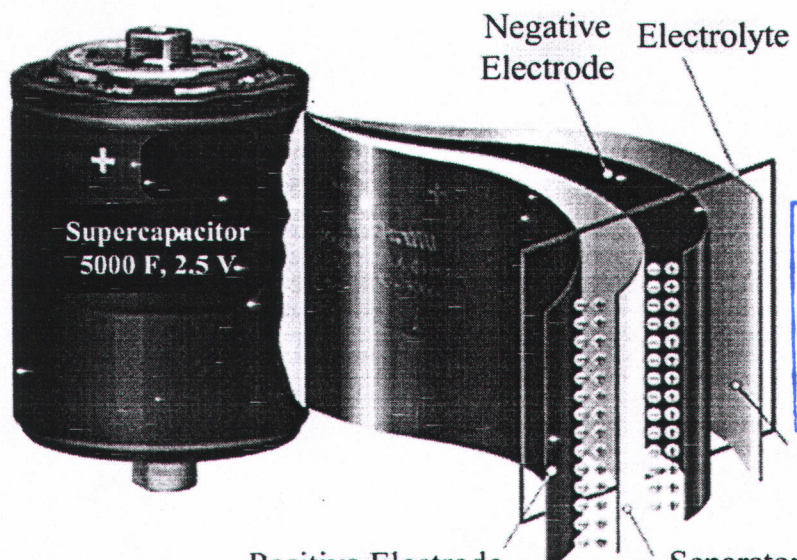
- อิเล็กโทรด 2 ตัวชนิดคาร์บอนเป็นโพรงแซนเนลล์กโทรไลต์
- เมมเบรนที่เป็นฉนวนทางไฟฟ้าแต่เป็นตัวนำประจุระหว่างอิเล็กโทรด ป้องกันการลัดวงจร
- ขั้วต่อที่เป็นโลหะ โดยปกติเป็นอะลูมิเนียม



ภาพที่ 1-19 โครงสร้าง Microscopic ของวัสดุอิเล็กโทรดแบบ active carbon ในชุบเปอร์คาป่าชีเตอร์



ภาพที่ 1-20 หลักการทำงานของชุปเปอร์ค่าปาร์เชียเตอร์



สำนักงานคณะกรรมการวิจัยแห่งชาติ
 ห้องสมุดงานวิจัย
 รุ่นที่... ๙ ก.ก. ๒๕๕๕
 เลขทะเบียน... 247628
 เลขเรียงหนังสือ...

ภาพที่ 1-21 โครงสร้างของชุปเปอร์ค่าปาร์เชียเตอร์

1.3.2 เทคโนโลยีชุปเปอร์ค่าปาร์เชียเตอร์

แนวคิดของชุปเปอร์ค่าปาร์เชียเตอร์มีมานานแล้ว ตั้งแต่การค้นพบหลักการของประจุไฟฟ้าแบบ 2 ชั้น (electric double layer) แต่อย่างไรก็ตาม สิทธิบัตรแรกเกี่ยวกับชุปเปอร์ค่าปาร์เชียเตอร์เป็นของบริษัท General Electric ลงทะเบียนในปี ค.ศ. 1957 ผู้ประดิษฐ์ได้อธิบายการเก็บสะสมพลังงานโดยประจุไฟฟ้าแบบ 2 ชั้นที่ถูกพัฒนาจากการประสานระหว่างอิเล็กโตรดที่เป็นคาร์บอนแบบมีไพร์ และอิเล็กโกรไล์ที่เป็นของเหลว (กรดซัลฟูริก) ในปี ค.ศ. 1969 สิทธิบัตรอีกชิ้นจากบริษัท SOHIO ได้ทำการจดทะเบียนซึ่งได้อธิบายชุปเปอร์ค่าปาร์เชียเตอร์ที่ทนแรงดันไฟฟ้าสูงกว่า โดยใช้อิเล็กโกรไล์ทที่ไม่เป็นของเหลว

เทคโนโลยีการเก็บสะสมพลังงานของชุบเปอร์คาป่าชิเตอร์ได้ถูกใช้งานอย่างประสบความสำเร็จที่เมืองโคลอนีประเทศเยอรมันนีและล่าสุดได้มีการนำชุบเปอร์คาป่าชิเตอร์ไปใช้ในงานรักษา紀錄 แรงดันไฟฟ้ากระแสสัมภาร์ห้องที่สำหรับระบบไฟฟ้าในอุตสาหกรรม ลิฟต์ และรถไฟฟ้า

แรงดันของชุบเปอร์คาป่าชิเตอร์ $v_C(t)$ สามารถคำนวณได้จากสมการที่รู้จักกันเป็นอย่างดี [10] คือ

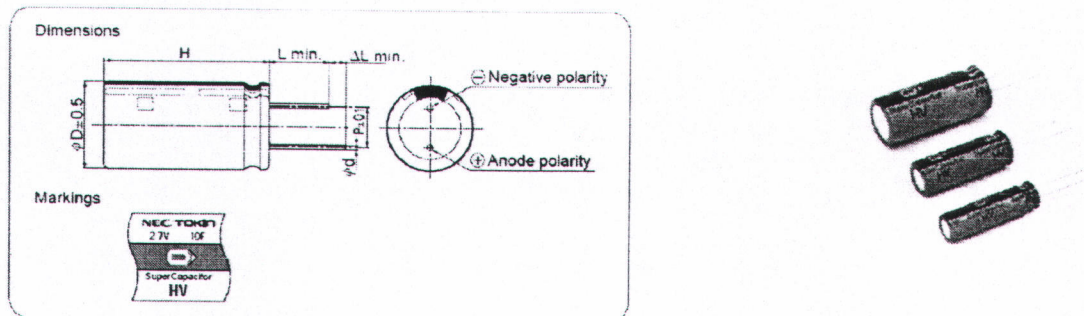
$$v_C(t) = \frac{1}{C} \int_{t_0}^t i_C(t) \cdot dt + v_C(t_0) \quad (1-4)$$

ซึ่ง $i_C(t)$ คือกระแส зар์จของชุบเปอร์คาป่าชิเตอร์ [A] C คือค่าความจุ [F]

ขณะที่พลังงานที่เก็บสะสมในชุบเปอร์คาป่าชิเตอร์ $E_C(t)$ [Joule, J] ก็สามารถคำนวณได้จากสมการพื้นฐานคือ

$$E_C(t) = \frac{1}{2} C \cdot v_C^2(t) \quad (1-5)$$

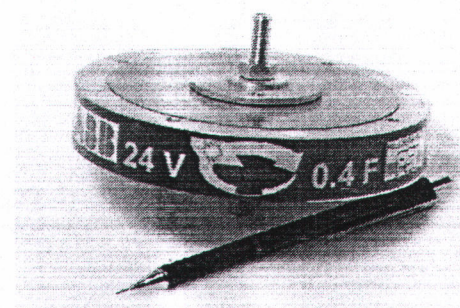
ขณะที่งานการค้าของชุบเปอร์คาป่าชิเตอร์ได้เริ่มต้นเพียงไม่กี่ปี อุปกรณ์ที่ประกอบด้วยอิเล็กโทรดที่เป็นคาร์บอนและอิเล็กโทรไลต์ที่เป็นแบบของเหลวและօแกนิกส่วนใหญ่ผลิตโดยบริษัท NEC และ Matsushita ซึ่งมีขนาดเล็ก (ค่าความจุต่ำประมาณ $0.5 \text{ Wh}\cdot\text{kg}^{-1}$) สำหรับใช้งานด้านสัญญาณ เช่นหน่วยความจำสำรอง ตั้งแต่ต้นยุคปี ค.ศ. 1990 ภาพที่ 1-22 แสดงขนาดด้วยว่า ชุบเปอร์คาป่าชิเตอร์ขนาดเล็กขนาด $2.7 \text{ V}, 10 \text{ F}, 22 \text{ F}, 50 \text{ F}$ และ 100 F ของบริษัท NEC และในภาพที่ 1-23 แสดงขนาดด้วยว่า ชุบเปอร์คาป่าชิเตอร์ขนาดเล็กขนาด $24 \text{ V}, 0.4 \text{ F}$ ของบริษัท ABB ที่ผลิตจำหน่ายในปัจจุบัน



Standard Rating

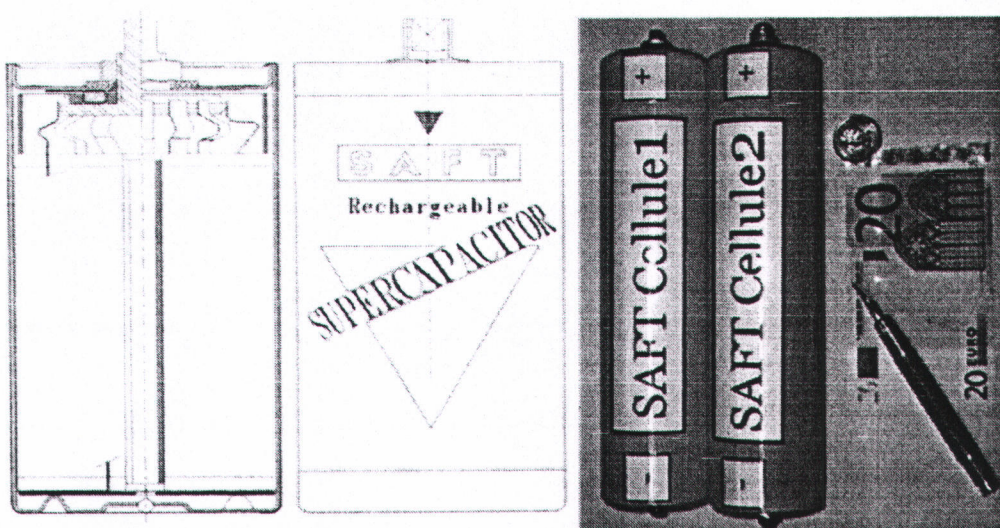
Part No.	Max. Rated Voltage (Vdc)	Nominal Capacitance (F)	Max. ESR (at 1 kHz) (mΩ)	Max. Current at 30 minutes (mA)	Dimensions (Unit: mm)						Weight (g)
					ØD	H	P	Ød	I	ΔL	
HVOE106N	2.7	10	500	8	10.0	35±2	5.0	0.6	15.0	5.0	4.5
HVOE226N	2.7	22	500	18	12.5	35±2	5.0	0.6	15.0	5.0	6.5
HVOE506N	2.7	50	100	40	18.0	40±5	7.5	0.8	15.0	5.0	14.0
HVOE107N	2.7	100	100	80	22.0	50±5	10.2	1.0	18.0	7.0	24.0

ภาพที่ 1-22 ชุบเปอร์คาป่าชิเตอร์ขนาดเล็กของบริษัท NEC



ภาพที่ 1-23 ชุบเปอร์คากาป่าชีเตอร์ขนาดเล็ก (24 V, 0.4 F, 5.7 kW)

ชุบเปอร์คากาป่าชีเตอร์มีการนำไปใช้ในงานอุตสาหกรรมที่ต้องการกำลังไฟฟ้าสูง (มีค่าความจุเป็น kF มีระดับความหนาแน่นพลังงาน ($\text{Wh}\cdot\text{kg}^{-1}$) และกำลังไฟฟ้า $\text{kW}\cdot\text{kg}^{-1}$ ที่สูงมาก) ซึ่งสามารถหาซื้อได้ในปัจจุบัน ชุบเปอร์คากาป่าชีเตอร์หนึ่งเซลล์จะมีแรงดันต่ำมาก ดังนั้นเมื่อนำไปต่อใช้งานจะนำมาต่ออนุกรมกันเพื่อเพิ่มระดับแรงดันและถ้าต้องการเพิ่มความจุก็จะนำมาต่อขนานกันได้อีกเป็นวิธีการเดียวกับแบตเตอรี่ ในภาพที่ 1-24 แสดงชุบเปอร์คากาป่าชีเตอร์ต้นแบบของบริษัท SAFT ขนาด 3500 F, 2.5 V, 500 A, 0.65 kg ภาพที่ 1-25 แสดงชุบเปอร์คากาป่าชีเตอร์ของบริษัท SAFT โมดูลขนาดเล็ก 12 ตัว ต่ออนุกรมกัน (292 F = 3500/12, 30 V = 2.5x12) และภาพที่ 1-26 แสดงชุบเปอร์คากาป่าชีเตอร์ของบริษัท SAFT โมดูลขนาดใหญ่ 108 ตัว ต่ออนุกรมกัน (32.4 F = 3500/108, 270 V = 2.5x108) ภาพที่ 1-27 แสดงชุบเปอร์คากาป่าชีเตอร์ของบริษัท Maxwell (เรียกว่า Booscap) 1 เซลล์ (รุ่น BCAP1200 P270: 1200 F, 2.7 V, 0.3 kg, 0.294 ลิตร) และโมดูลที่ BCAP1200 ต่ออนุกรมกัน 12 ตัว (100 F = 1200/12, 32 V = 2.7x12) และภาพที่ 1-28 แสดงชุบเปอร์คากาป่าชีเตอร์โมดูลสำหรับรถยนต์ไฟฟ้าขนาด 29 F, 250 V, 45 kW, 53 kg เป็นชุบเปอร์คากาป่าชีเตอร์ของบริษัท Maxwell สำหรับงานสำรองไฟกำลังสูง ขณะที่ตารางที่ 1-1 เป็นตัวอย่างชุบเปอร์คากาป่าชีเตอร์แต่ละผู้ผลิตที่มีจำหน่ายในปัจจุบัน



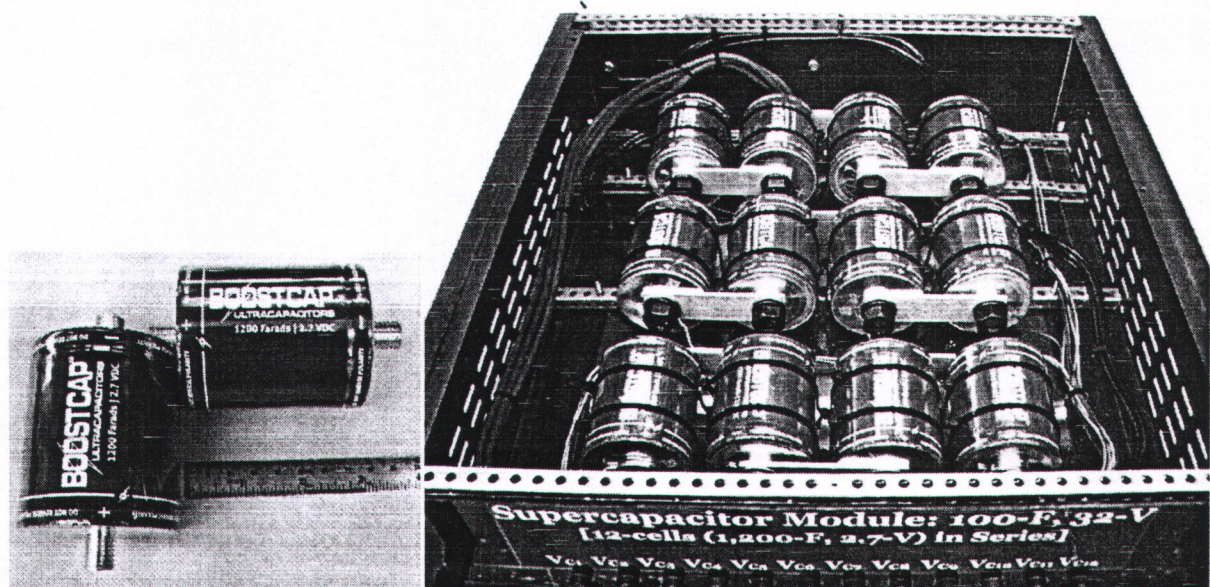
ภาพที่ 1-24 ชุบเปอร์คากาป่าชีเตอร์ต้นแบบของบริษัท SAFT



ภาพที่ 1-25 ชุดเปอร์ค้าป่าชีเตอร์ของบริษัท SAFT โดยมีความจุขนาดเล็ก 12 ตัว ต่ออนุกรมกัน



ภาพที่ 1-26 ชุดเปอร์ค้าป่าชีเตอร์ของบริษัท SAFT โดยมีความจุขนาดใหญ่ 108 ตัว ต่ออนุกรมกัน



ภาพที่ 1-27 ชุดเปอร์ค้าป่าชีเตอร์ของบริษัท Maxwell (เรียกว่า Booscap) 1 เซลล์ และโมดูลที่ BCAP1200 ต่ออนุกรมกัน 12 ตัว



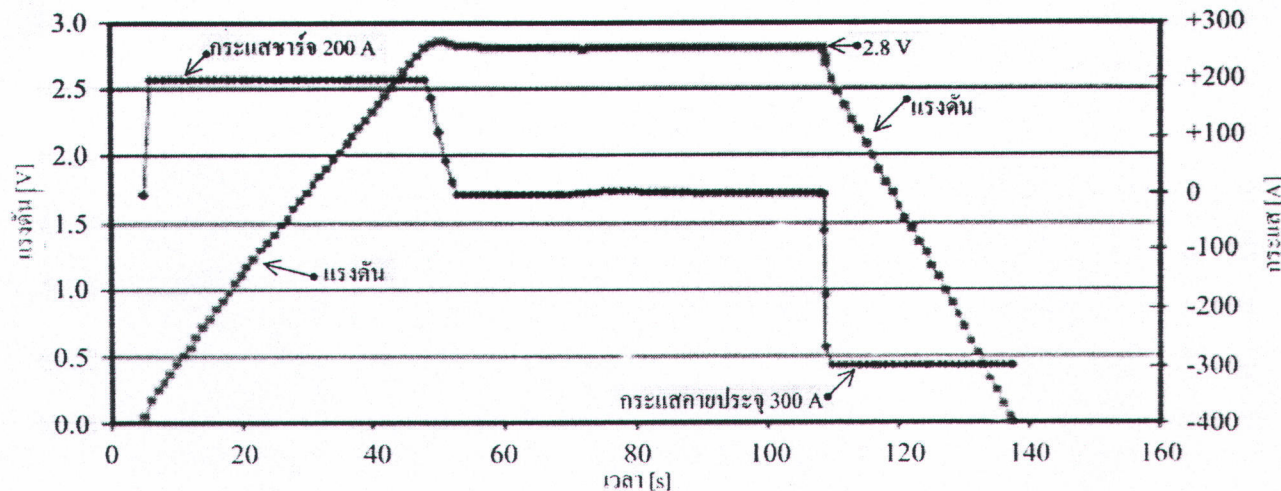
ภาพที่ 1-28 ชุดเปลอร์คาป้าชีเตอร์โมดูลสำหรับรถยนต์ไฟฟ้า

ตารางที่ 1-1 ลักษณะสมบัติของชุดเปลอร์คาป้าชีเตอร์ที่มีจำหน่ายในปัจจุบัน

ผู้ผลิต	แรงดัน [V]	ความจุ [F]	ESR [$m\Omega$]	$Wh \cdot kg^{-1}$	$W \cdot kg^{-1}$	น้ำหนัก [kg]	ปริมาตร [Liter]
Maxwell*	2.7	2800	.48	4.45	900	.475	.320
Apowercap**	2.7	590	.9	5.0	2618	.087	.062
Ness	2.7	1800	.55	3.6	975	.38	.277
Ness	2.7	5085	.24	4.3	958	.89	.712
Asahi Glass (PC)	2.7	1375	2.5	4.9	390	.210 (estimated)	.151
Panasonic (PC)	2.5	1200	1.0	2.3	514	.34	.245
LS Cable	2.8	3200	.25	3.7	1400	.63	.47
BatScap	2.7	2680	.20	4.2	2050	.50	.572
Power Sys. (PC)**	2.7	1350	1.5	4.9	650	.21	.151

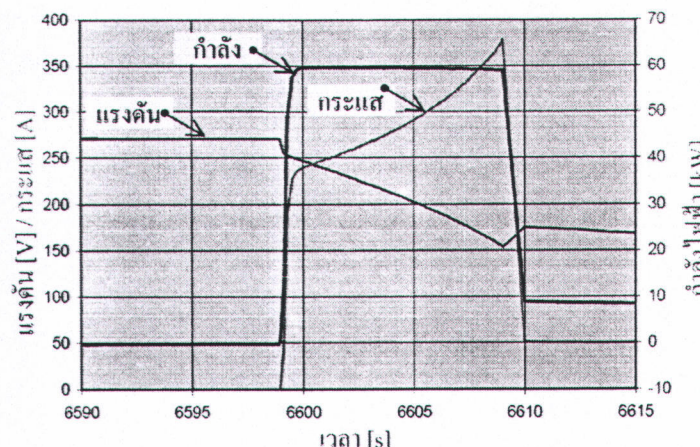
1.3.3 ลักษณะสมบัติของชุดเปลอร์คาป้าชีเตอร์

การนำชุดเปลอร์คาป้าชีเตอร์ไปใช้งานสำหรับเป็นระบบสำรองไฟชั่วสั้น ๆ แต่จะทำงานที่จ่ายกระแสหรือกำลังไฟฟ้าที่สูง ภาพที่ 1-29 แสดงสัญญาณแรงดันและกระแสของชุดเปลอร์คาป้าชีเตอร์ขณะทำการทดสอบชุดเปลอร์คาป้าชีเตอร์ 1 เซลล์ (2.8 V, 3200 F) ของ บริษัท LS Cable ขณะเก็บประจุที่กระแสคงที่ 200 A และค่าจ่ายประจุที่กระแส 300 A



ภาพที่ 1-29 ลักษณะสมบัติของชุปเปอร์ค่าปานิชเตอร์ 1 เซลล์

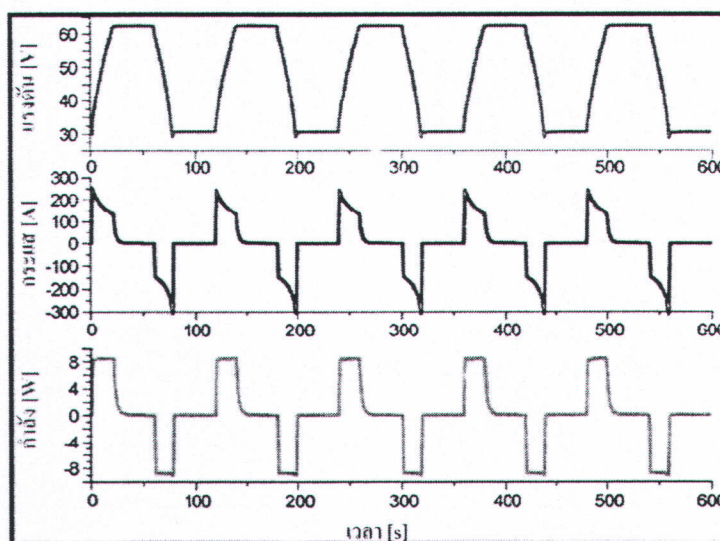
ขณะที่ภาพที่ 1-30 แสดงสัญญาณแรงดัน กระแสและกำลังของชุปเปอร์ค่าปานิชเตอร์ ขณะทำการทดสอบชุปเปอร์ค่าปานิชเตอร์ของบริษัท SAFT โดยมีดูลขนาดใหญ่ 108 ตัว ต่อนุกรมกัน (32.4 F , 270 V) ขณะจ่ายไฟที่กำลังไฟฟ้าคงที่ 60 kW ก่อนจ่ายไฟแรงดันชุปเปอร์ค่าปานิชเตอร์โดยมีดูลถูกชาร์จเต็มที่ 270 V หมายความว่ามีพลังงานเก็บสะสมในชุปเปอร์ค่าปานิชเตอร์โดยมีดูลอยู่ 1.2 MJ ที่เวลา 6598 วินาที ชุปเปอร์ค่าปานิชเตอร์โดยมีดูลถูกบังคับให้จ่ายกำลังไฟฟ้าที่คงที่ 60 kW เราจะสังเกตได้ว่าแรงดันของชุปเปอร์ค่าปานิชเตอร์โดยมีดูลลดลง เพราะมีการจ่ายพลังงานออกไปนั้นเอง ซึ่งเป็นไปตามสมการที่ 1-4 และสมการที่ 1-5 ทำให้กระแสของชุปเปอร์ค่าปานิชเตอร์ค่อย ๆ เพิ่มสูงขึ้น (จ่ายกระแสมากขึ้น) เพราะกำลังไฟฟ้าคงที่



ภาพที่ 1-30 ลักษณะสมบัติของชุปเปอร์ค่าปานิชเตอร์ของบริษัท SAFT โดยมีดูลขนาดใหญ่ 108 ตัว

การทดสอบสัญญาณแรงดัน กระแสและกำลังของชุปเปอร์ค่าปานิชเตอร์โดยมีดูล เป็นการทดสอบรอบการชาร์จประจุและคายประจุที่กำลังไฟฟ้าคงที่ 20 kW ระยะเวลา 20 วินาที ทำให้แรงดันชุปเปอร์ค่าปานิชเตอร์โดยมีดูลเพิ่มขึ้นและลดลงอยู่ในช่วง 62.5 V ถึง 30 V จากการทดสอบทั้งหมดจะเห็นได้ว่าชุปเปอร์

ค่าปั๊มเตอร์สามารถชาร์จและจ่ายไฟที่กำลังไฟสูงและรวดเร็ว ซึ่งเป็นลักษณะสมบัติที่แบตเตอรี่ไม่สามารถทำงานได้ ทำให้เป็นจุดเด่นที่สำคัญของชุบเปลอร์ค่าปั๊มเตอร์นั้นเอง ภาพที่ 1-31 แสดงลักษณะสมบัติของชุบเปลอร์ค่าปั๊มเตอร์โมดูล รุ่น BCAP010A 2600 F, 2.5 V ต่อนุกรมกัน 25 ตัว ของบริษัท Maxwell

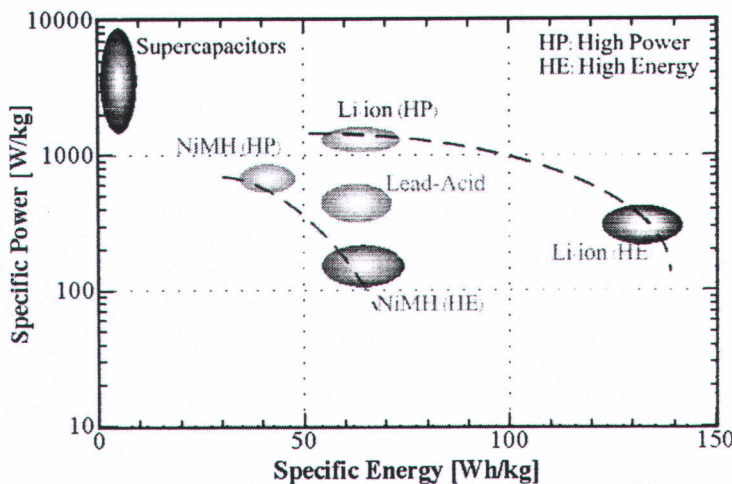


ภาพที่ 1-31 ลักษณะสมบัติของชุบเปลอร์ค่าปั๊มเตอร์โมดูล รุ่น BCAP010A ของบริษัท Maxwell

1.3.4 เปรียบเทียบแบตเตอรี่กับชุบเปลอร์ค่าปั๊มเตอร์

เนื่องจากแบตเตอรี่ทั่วๆ ไปมีค่าความด้านทานภายในที่สูงกว่าชุบเปลอร์ค่าปั๊มเตอร์ ทำให้ประสิทธิภาพในการชาร์จและอายุของแบตเตอรี่มีค่าต่ำกว่า เพราะค่าความด้านทานภายในทำให้เกิดค่าสูญเสียในรูปของความร้อนนั้นเอง ดังนั้นในงานกำลังไฟสูงๆ ถ้าระบบสำรองไฟเป็นแบตเตอรี่จะเป็นต้องติดตั้งระบบบายความร้อนด้วย ทำให้มีค่าใช้จ่ายมากขึ้น เราสามารถสรุปประสิทธิภาพ รอบการชาร์จและอายุของแบตเตอรี่อยู่ที่ประมาณ 80 เปอร์เซ็นต์ ขณะที่ของชุบเปลอร์ค่าปั๊มเตอร์มีค่าสูงกว่าอยู่ที่ประมาณ 95 เปอร์เซ็นต์ [9], [10]

ยิ่งกว่านั้น จุดด้อยของแบตเตอรี่อีกอย่างคือใช้เวลาการชาร์จที่นานมาก ถูกจำกัดโดยปริมาณ กระแสที่ชาร์จ เนื่องจากเป็นคุณสมบัติทางไฟฟ้าเดเมื่อของด้วยแบตเตอรี่เอง ขณะที่ชุบเปลอร์ค่าปั๊มเตอร์สามารถชาร์จได้ที่กระแสสูงมากทำให้ชาร์จได้เร็วมาก ในภาพที่ 1-32 เปรียบเทียบพลังงานต่อน้ำหนัก ($\text{Wh}\cdot\text{kg}^{-1}$) กับกำลังงานต่อน้ำหนัก ($\text{W}\cdot\text{kg}^{-1}$) ของเทคโนโลยีชุบเปลอร์ค่าปั๊มเตอร์ แบตเตอรี่แบบตะกั่ว (Lead-Acid) แบบลิเทียมไอออนและแบบนิกายเมททอลไฮไดส์ จะเห็นได้ชัดว่าถึงแม้ว่าแบตเตอรี่ จะมีพลังงานต่อน้ำหนัก ($\text{Wh}\cdot\text{kg}^{-1}$) ที่สูงกว่าชุบเปลอร์ค่าปั๊มเตอร์อยู่มากก็ตาม แต่ต้องไม่ลืมว่าชุบเปลอร์ค่าปั๊มเตอร์สามารถจ่ายไฟได้เร็วมาก เพราะมีค่าความด้านทานภายในที่ต่ำกว่าแบตเตอรี่ ขณะที่อายุการใช้งานของแบตเตอรี่แบบตะกั่วอยู่ที่ 1000 รอบ (Charge/Discharge Cycle) และชุบเปลอร์ค่าปั๊มเตอร์จะมีอายุการใช้งานที่นานมาก เราอาจจะประมาณได้ว่ามีอายุเป็นอนันต์ [11]

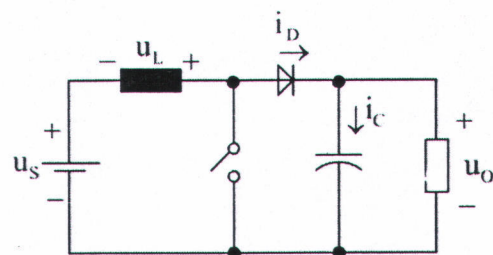


ภาพที่ 1-32 เปรียบเทียบพลังงานต่อน้ำหนัก ($\text{Wh}\cdot\text{kg}^{-1}$) กับกำลังงานต่อน้ำหนัก ($\text{W}\cdot\text{kg}^{-1}$) ของเทคโนโลยีชูปเปอร์คากาชีเตอร์ แบตเตอรี่แบบตะกั่ว (Lead-Acid) แบบลิเทียมไอออนและแบบนิกเกิล เมทกอลไอกไซไดรส์

1.4 วงจรแปลงไฟแบบทิศทางเดียวสำหรับเซลล์เชือเพลิงและเซลล์แสงอาทิตย์

เมื่อพิจารณาวงจรแปลงผันแปรดันดังภาพที่ 1-33 ที่จะนำมาต่อใช้งานร่วมกับเซลล์เชือเพลิงและเซลล์แสงอาทิตย์เพื่อที่จะนำพลังงานไฟฟ้าที่ผลิตได้ไปใช้งาน จึงเลือกวงจรบูสต์คอนเวอร์เตอร์ [12] ซึ่งเป็นวงจรที่ทำหน้าที่เพิ่มระดับแรงดันไฟฟ้าด้านออกให้สูงกว่าแรงดันไฟฟ้าด้านเข้าโดยอาศัยการเก็บและคายพลังงานจากดัวเหนี่ยวนำและมีจำนวนอุปกรณ์น้อย ออกแบบง่าย ในการพิจารณาหลักการทำงานของวงจร มีเงื่อนไขการทำงานคือ

- กระแสไฟฟ้าที่แหล่งดัวเหนี่ยวนำ ณ ตำแหน่งเดียวกันในแต่ละคาบเวลาจะมีค่าเท่ากันและมีค่าเป็นบวกเสมอ
- แรงดันไฟฟ้าเฉลี่ยดกคร่อมดัวเหนี่ยวนำในแต่ละคาบจะเท่ากับศูนย์ หมายถึงผลรวมของผลคูณระหว่างแรงดันไฟฟ้าดกคร่อมดัวเหนี่ยวนำกับเวลาในแต่ละคาบจะเท่ากับศูนย์
- ตัวเก็บประจุทำให้แรงดันไฟฟ้าด้านออกมีค่าคงที่
- กำลังไฟฟ้าด้านเข้าเท่ากับกำลังไฟฟ้าด้านออก กรณีนี้ไม่คำนึงถึงการสูญเสียเนื่องจากการทำงานของวงจร โดยกำหนดให้อุปกรณ์ทุกดัวเป็นอุดมคติ ทำให้สรุปได้ว่าประสิทธิภาพของวงจรเป็นหนึ่งร้อยเปอร์เซ็นต์

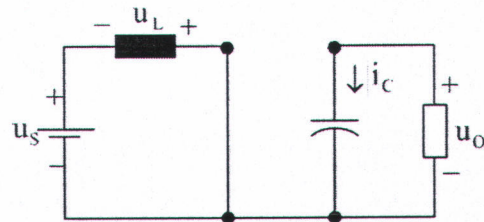


ภาพที่ 1-33 วงจรบูสต์คอนเวอร์เตอร์

1.4.1 หลักการทำงานของวงจรบูสต์คอนเวอร์เตอร์ [13], [14]

เพื่อให้ได้แรงดันไฟฟ้าด้านนอกตามต้องการ จะเริ่มต้นจากข้อกำหนดที่ว่าแรงดันไฟฟ้าเฉลี่ยต่อกรุ่มตัวเหนี่ยวนำในแต่ละคาบเวลาจะเท่ากับศูนย์และสามารถหากระแสไฟฟ้าที่ไหลผ่านตัวเหนี่ยวนำได้โดยวิเคราะห์การทำงานของสวิตช์ในแต่ละโหมด ทั้งนี้การทำงานต้องอยู่ในช่วงสภาวะคงตัวดังนี้

1.4.1.1 ขณะสวิตช์นำกระแส



ภาพที่ 1-34 วงจรสมมูลเมื่อสวิตช์นำกระแส

พิจารณาจากภาพที่ 1-34 พบว่าแรงดันที่แหล่งจ่าย u_s มีค่าเท่ากับแรงดันต่อกคร่อม u_L ได้โดยจะถูกนำไปอัลกอริทึม จึงสามารถเขียนสมการแสดงความสัมพันธ์ได้ดังนี้

$$-u_s + u_L = 0 \quad (1-6)$$

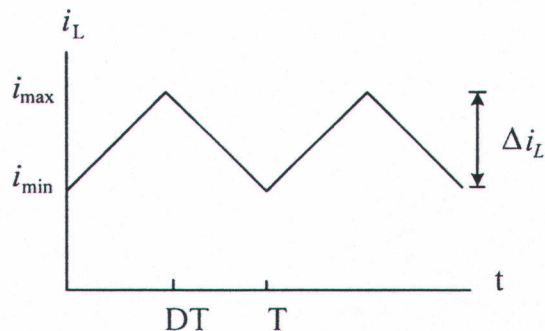
$$\begin{aligned} u_L &= u_s = L \frac{di_L}{dt} \\ \frac{di_L}{dt} &= \frac{u_s}{L} \end{aligned} \quad (1-7)$$

ขณะที่สวิตช์นำกระแส $dt = DT$ เมื่ออัตราการเปลี่ยนแปลงของกระแสคงที่ อาจจะถือว่าการเพิ่มของกระแสไฟฟ้าเป็นเชิงเส้น ทำให้สามารถคำนวณได้จาก

$$\frac{\Delta i_L}{\Delta t} = \frac{\Delta i_L}{DT} = \frac{u_s}{L} \quad (1-8)$$

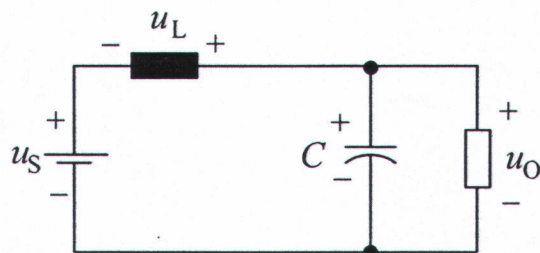
$$\Delta i_{L, on} = \frac{u_s DT}{L} \quad (1-9)$$

$\Delta i_{L, on}$ หมายถึงอัตราการเปลี่ยนแปลงของกระแสไฟฟ้าในตัวเหนี่ยวนำขณะสวิตช์นำกระแสกระแสไฟฟ้าที่ไหลผ่านตัวเหนี่ยวนำดังภาพที่ 1-35 ที่ได้จากการวิเคราะห์การทำงาน



ภาพที่ 1-35 กระแสไฟฟ้าที่แหล่งผ่านด้วยเหนี่ยว

1.4.1.2 ขณะสวิตช์ไม่นำกระแส



วงจรสมมูลเมื่อสวิตช์ไม่นำกระแส

เมื่อสวิตช์ไม่นำกระแสดังภาพที่ 1-36 กระแสไฟฟ้าในด้วยเหนี่ยวนำจะเปลี่ยนแปลงทันทีทันใดไม่ได้ ได้โดยจะถูกนำไปอัสไปข้างหน้าให้นำกระแส ทำให้กระแสไฟฟ้าในแหล่งผ่านด้วยเหนี่ยวนำอย่างต่อเนื่อง สมมติแรงดันไฟฟ้าที่เอาท์พุตมีค่าคงที่ จากกฎของเคอร์ชอฟฟ์จะได้สมการของแรงดันไฟฟ้าที่ตกรรอมด้วยเหนี่ยวนำดังนี้

$$-u_S + u_L + u_O = 0 \quad (1-10)$$

$$u_L = L \frac{di_L}{dt} \quad (1-11)$$

$$\frac{di_L}{dt} = \frac{u_S - u_O}{L} \quad (1-12)$$

ขณะสวิตช์ไม่นำกระแส $dt = (1-D)T$ อัตราการเปลี่ยนแปลงของกระแสไฟฟ้าที่แหล่งผ่านด้วยเหนี่ยวนำมีค่าคงที่ และจะถือว่าการลดลงของกระแสเป็นเชิงเส้นดังภาพที่ 1-35 ทำให้สามารถคำนวณได้จาก

$$\Delta i_{L,off} = \left(\frac{u_S - u_O}{L} \right) (1-D)T \quad (1-13)$$

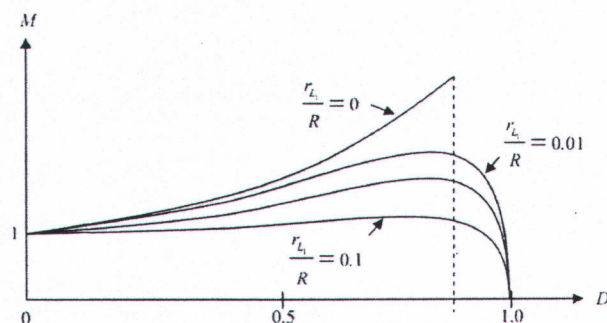
ที่สภาวะคงตัว การเปลี่ยนแปลงของกระแสไฟฟ้าที่แหล่งผ่านตัวเหนี่ยวนำตัวเหนี่ยวนำนำสุทธิ มีค่าเท่ากับศูนย์ จะได้แรงดันเอาท์พุตเฉลี่ยจากการจรบุสต์คอนเวอร์เตอร์จะได้ดังสมการที่ (1-14)

$$\frac{u_O}{u_S} = \frac{1}{1-D} \quad (1-14)$$

อัตราการแปลงผันแรงดัน (M) หาได้ดังนี้

$$M = \frac{U_O}{U_S} \quad (1-15)$$

จากภาพที่ 1-37 เมื่อแทนวัฏจักรงาน (D) ให้เข้าสู่ค่า 1 จะทำให้อัตราการแปลงผันแรงดัน (M) จะมีค่าลดลงเป็นศูนย์ แทนที่จะเป็นอนันต์เมื่อมันในอุดมคติ ดังนั้นค่าความด้านทานภายในตัวเหนี่ยวนำมีผลต่ออัตราขยายนี้ กล่าวคือถ้าค่าความด้านทานมีค่าน้อยมาก ($r_L=0.01$) อัตราขยายมีค่ามากกว่า เมื่อมีความด้านทานน้อย ($r_L=0.1$) เนื่องจากเกิดการสูญเสียที่ตัวเหนี่ยวนำมากขึ้น แต่สุดท้ายเมื่อค่าวัฏจักรงาน (D) มีค่าเป็น 1 อัตราขยายจะมีค่าเป็นศูนย์



ภาพที่ 1-37 ความสัมพันธ์ระหว่างค่าอัตราการแปลงผันและวัฏจักรงาน เมื่อ r_L/R มีการเปลี่ยนแปลง R คือค่าความด้านทานที่ต่อเป็นโหลดทางไฟฟ้า r_L คือค่าความด้านทานภายในชุดลวดเหนี่ยวนำ

การได้มาร์ชีนอัตราส่วนของแรงดันไฟฟ้าด้านเอาท์พุตต่อแรงดันไฟฟ้าด้านอินพุตเมื่อเพิ่มค่า D เป็นการเพิ่มอัตราขยายแรงดันไฟฟ้า ซึ่งการเพิ่มอัตราขยายนี้จะเพิ่มแบบไม่เป็นเชิงเส้น ในทางปฏิบัติ นิยมปรับอัตราการขยายแรงดันไฟฟ้าไม่เกิน 5 เท่า ทั้งนี้เพื่อให้วงจรมีความเสถียรภาพ

1.4.1.3 แรงดันกระแสเพื่อด้านเอาท์พุต (Output Voltage Ripple) การทำงานของวงจรบุสต์นั้นจะต้องได้แรงดันเอาท์พุตที่สูงกว่าแรงดันอินพุต ถ้าไม่เป็นเช่นนั้นแสดงว่าตัวเหนี่ยวนำไม่สามารถพัลส์งานเสริมแรงดันอินพุต เมื่อสวิตซ์ปิดวงจร (Turn On) แรงดันเอาท์พุตจะได้จากการคายประจุของตัวเก็บประจุเพียงอย่างเดียว เพราะฉะนั้นขนาดของตัวเก็บประจุจะขึ้นอยู่ขนาดของแรงดันเอาท์พุตและโหมดการทำงาน

ดังนั้นจึงจำเป็นที่จะให้ขนาดของตัวเก็บประจุมีขนาดใหญ่เพื่อที่จะทำให้ขนาดของแรงดันกระแสเพื่อมทางด้านเอาท์พุตมีขนาดลดลง ตัวเก็บประจุจะพยายามให้อเอาท์พุตในช่วงเวลาที่สวิตช์ปิดวงจร (Turn On) และหาค่าเก็บประจุได้จากค่ากระแสเอาท์พุตในช่วงเวลาดังกล่าว

$$\Delta U_C = \frac{I}{C} \int_{t_{on}}^{t_{off}} i_o dt = \frac{i_{on}}{C} \quad (1-16)$$

หากพิจารณาจากช่วงเวลา t_{on} ในคอนเวอร์เตอร์จะมีความถี่ในการสวิตช์เมื่อพิจารณาให้อยู่ในเทอมของเอาท์พุตซึ่งจะได้จากการที่ (1-17) และพิจารณาความถี่ด้วยจะได้

$$U_o = \frac{u_s}{1-D} = \frac{u_s}{T-t_{on}} \quad (1-17)$$

$$\Delta U_C = \frac{(i_O(u_O - u_S + Du_S)/(1-D))}{fCu_S/(1-D)} = \frac{i_O D}{fC} \quad (1-18)$$

ดังนั้นตัวเก็บประจุทางด้านเอาท์พุตของวงจรทบแรงดันจะหาได้จาก

$$\Delta u_C = \Delta u_O \quad (1-19)$$

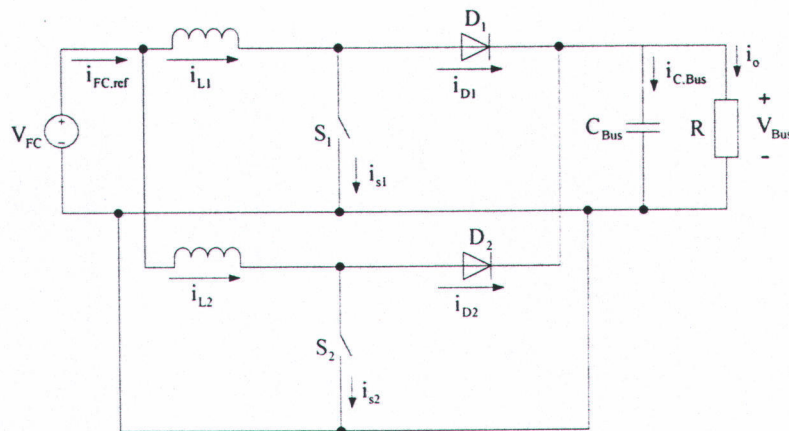
จะได้

$$C = \frac{i_O D}{f \Delta u_O} \quad (1-20)$$

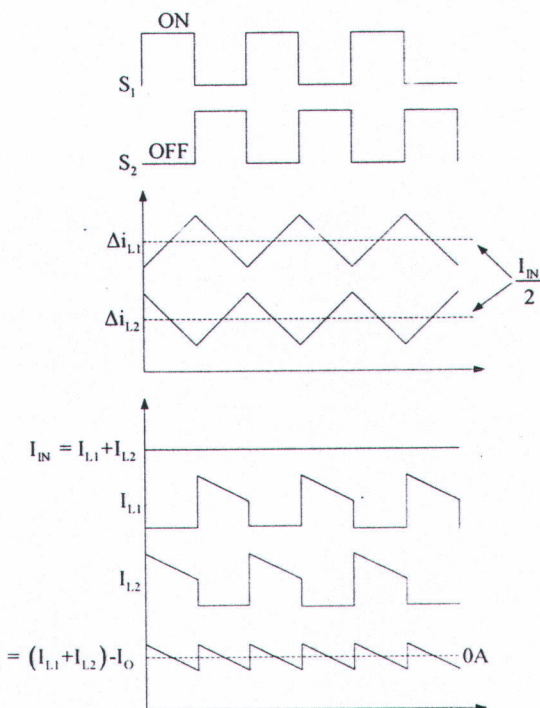
1.4.2 เทคนิคการอินเตอร์ลีฟ (Interleaved Technique)

เทคนิคการอินเตอร์ลีฟ (Interleaved Technique) สามารถทำได้โดยการนำเอาสัญญาณขับนำสวิตช์ของวงจรแปลงผันหลายๆ วงจรมาต่อขนาดกัน และกำหนดสัญญาณขับนำสวิตช์ให้เหลือเวลาการทำงานกันออกไปเพื่อให้วงจรลับการทำงานซึ่งกันและกันโดยจะแบ่งมุ่งการทำงานของสัญญาณขับนำสวิตช์ให้ทำงานให้ครบกันพอดีในแต่ละหนึ่งรอบเวลาการทำงาน ($360/N$) [15], [16] ซึ่งจะขึ้นอยู่กับจำนวนวงจร (N) ที่นำมาอินเตอร์ลีฟกันและมีความถี่ของการสวิตช์เท่ากันและหลักการนี้จะทำให้แอมเพลจุดของกระแสเพื่อลดลงและเป็นการเพิ่มประสิทธิภาพของความถี่กระแส โดยไม่ทำให้เกิดการสูญเสียที่สวิตช์หรืออุปกรณ์ การนำวงจรแปลงผันแบบบูสต์คอนเวอร์เตอร์มาขนาดกันโดยใช้เทคนิคการอินเตอร์ลีฟ เพื่อเพิ่มความสามารถในการจ่ายกำลังไฟฟ้าให้มากขึ้นและลดค่าการกระแสเพื่อมของกระแสในขดลวดเหนี่ยวนำทำให้สามารถลดขนาดของตัวเหนี่ยวนำลงได้

ในการวิจัยเซลล์แสงอาทิตย์ได้นำวงจรบูสต์คอนเวอร์เตอร์มาขนาดกัน 2 วงจร ดังในภาพที่ 1-38 โดยใช้เทคนิคการอินเตอร์ลีฟ เพื่อให้สามารถจ่ายกระแสอินพุตสูงโดยจัดให้มีเฟสของสัญญาณนำขับสวิตช์ตัวบนและตัวล่างห่างกัน 180 องศา ซึ่งกระแสที่ตัวเหนี่ยวนำแต่ละตัวกลับเฟสกัน 180 องศา และกระแสเอาท์พุตจะมีขนาดการกระแสเพื่อลดลงครึ่งหนึ่ง ดังในภาพที่ 1-39

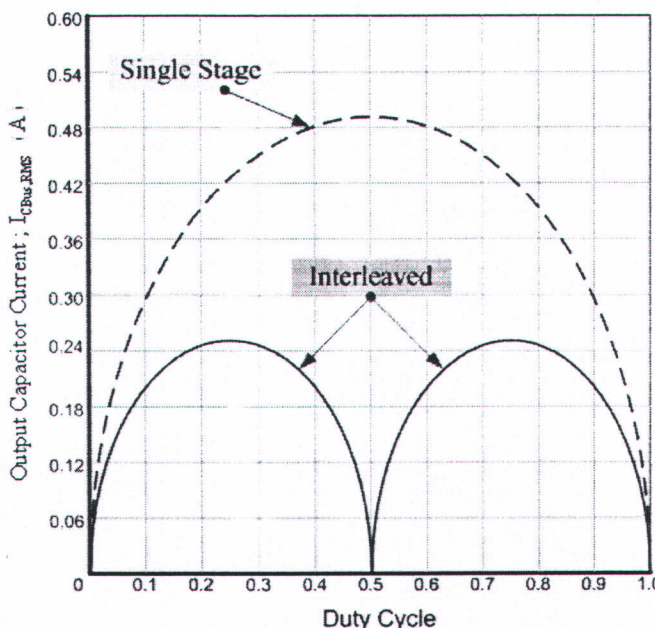


ภาพที่ 1-38 วงจรบูสต์คอนเวอร์เตอร์ที่มีการขานานกัน 2 วงจร



ภาพที่ 1-39 สัญญาณการสวิตช์ที่ต่างเฟสกัน 180 องศา กระแสที่ไหลผ่านขดลวดเหนี่ยววนิềา

จากคุณสมบัติของการอินเตอร์ลีฟที่ได้กล่าวมาในข้างต้น สามารถนำค่ากระแสเพื่อมของแต่ละวงจรมาหักล้างกันได้ (Ripple Cancellation) นั่นคือค่ากระแสเพื่อมที่ต้านออกลดลงและขนาดค่ากระแสเพื่อมจากการหักล้างกันของสองวงจร มีความสัมพันธ์กับวัฏจักรงานดังในภาพที่ 1-40 พบว่าค่ากระแสเพื่อมถูกหักล้างอย่างสมบูรณ์เมื่อวัฏจักรงานเป็น 50 เบอร์เซ็นต์



ภาพที่ 1-40 กระแสเฉลี่ยที่ให้ผลผ่านด้วยเก็บประจุ ($I_{CBus,RMS}$) กับวัฏจักรงานของวงจรแปลงผันที่มีการขานน 2 วงจร

ดังนั้นการนำวงจรทบแรงดันมาต่อขานกันหลายๆ ตัว เพื่อแก้ปัญหาดังที่กล่าวมาข้างต้น ซึ่งเป็นการนำวงจรบูสต์ค่อนเวอร์เตอร์มาต่อขานกันจนถึง N ตัว วิธีการนี้เรียกว่า Interleaved Technique วิธีการนี้เป็นการเพิ่มความสามารถในการจ่ายกระแสทางด้านเอาท์พุตให้เพิ่มมากขึ้นกว่าเดิม และมีข้อดีคือสามารถลดกระแสกระแสเพื่อมทางด้านอินพุตได้อีกด้วย มีชื่อเรียกว่าอินเตอร์ลีฟ (Interleaved Techniques) วิธีการขานน 2 วงจรแรงดันจะมีการแยกการสวิตช์ของสวิตช์แต่ละตัวให้มีมนุนต่างเฟสเพื่อที่สวิตช์จะไม่ทำงานพร้อมกันสามารถคำนวณได้จากสูตร

$$\text{มนุนในการสวิตช์} = \frac{2\pi}{N} \quad (\text{องค์ 1})$$

เมื่อ N คือจำนวนของวงจรบูสต์ค่อนเวอร์เตอร์ที่นำมาต่อขานกัน

จากสูตรการหามนุนในการสวิตช์จะเห็นว่าเมื่อมีจำนวนวงจรส่วนตัวที่ต้องขานมากขึ้นทำให้มุนจุดเริ่มต้นในการสวิตช์ก็น้อยลง เมื่อมีสวิตช์ที่นำกระแสมากขึ้นการกระแสเพื่อมของกระแสแก๊สจะน้อยลงและกระแสแก๊สจะให้ผลผ่านสวิตช์ทุกดัวที่ต่ออยู่ในวงจร ดังนั้นกระแสรวมทางด้านเอาท์พุตจะมากกว่าวงจรทบแรงดันปกติทั่วไปและกระแสกระแสเพื่อมยังน้อยลงด้วยนอกจากนี้วงจรทบแรงดันแบบหลายเฟสนี้ยังมีข้อดี [4], [17], [18] คือ

- ตัวเก็บประจุและตัวเหนี่ยวนำมีขนาดและจำนวนน้อยลง
- กระแสกระแสเพื่อม (Ripple Current) ทางด้านอินพุตและเอาท์พุตน้อยลง

- ชุดวงจรคอนเวอร์เตอร์ที่มีการขานานว่างรบทรงดันนี้เป็นการเพิ่มความเชื่อมั่นของระบบ (reliability) ให้เพิ่มมากขึ้นและยังเป็นการเพิ่มความสามารถในการจ่ายพลังงาน ของวงจรคอนเวอร์เตอร์ ให้มากขึ้นโดยที่ไม่มีการขานานด้วยอุปกรณ์เข้าไปในวงจร

- เมื่ออุปกรณ์ของแต่ละวงจรที่นำมาร่วมกันช่วยในการจ่ายกระแสเด้งนั้นกระแสที่ไหลผ่าน อุปกรณ์แต่ละวงจรก็น้อยลง ความร้อนที่เกิดขึ้นก็น้อยลงตามไปด้วย ทำให้ระบบการระบายความร้อน ทำได้ง่าย เพราะความร้อนไม่สูงมาก

- อุปกรณ์อิเล็กทรอนิกส์กำลังแต่ของวงจรจะช่วยในการจ่ายกระแสรวม ทำให้สามารถลด คุณสมบัติการทนกระแสของอุปกรณ์อิเล็กทรอนิกส์กำลังแต่ละตัวลงได้ทำให้ขนาดของอุปกรณ์เล็กลงได้ และราคาถูกลงด้วย

1.5 วงจรแปลงไฟแบบสองทิศทางสำหรับแบตเตอรี่ [19]

วงจรแปลงไฟแบบสองทิศทางสำหรับแบตเตอรี่นั้นสามารถแบ่งการทำงานออกเป็น 2 สภาวะ คือ สภาวะการเก็บประจุ (หรือการชาร์จแบตเตอรี่) และสภาวะการรายประจุ (หรือการใช้งานพลังงานที่เก็บไว้) ซึ่งสถานะการทำงานของวงจร มี 2 สภาวะดังนี้

1.5.1 คอนเวอร์เตอร์แบบทบแรงดันไฟฟ้ากระแสตรง (Boost Converter)

การทำงานของวงจรคอนเวอร์เตอร์แบบทบแรงดันไฟฟ้ากระแสตรง จะเหมือนกับการทำงานของ วงจรแปลงไฟแบบทิศทางเดียวสำหรับเชลล์เชือเพลิงและเชลล์แสงอาทิตย์ ในหัวข้อ 1.4

1.5.2 วงจรอ่อนระดับแรงดันหรือวงจรบีกค่อนเวอร์เตอร์

วงจรอ่อนระดับหรือวงจรบีกค่อนเวอร์เตอร์คือวงจรที่ทำให้แรงดันไฟฟ้าด้านออกมีค่าต่ำกว่า แรงดันไฟฟ้าด้านเข้า เนื่องจากการทำงานของวงจรบีกค่อนเวอร์เตอร์

1.5.2.1 การวิเคราะห์วงจรบีกค่อนเวอร์เตอร์ในช่วงสภาวะอยู่ตัว (steady state) มีการกำหนดเงื่อนไข การทำงานของวงจรบีกค่อนเวอร์เตอร์ดังนี้

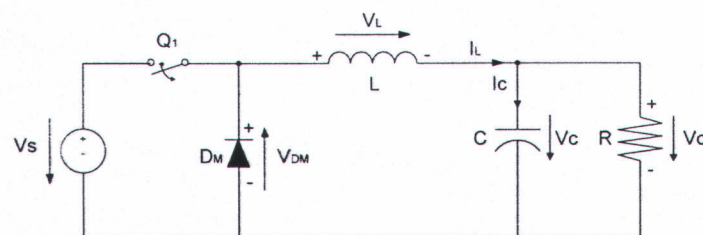
- กระแสไฟฟ้าที่ไหลผ่านดัวหนึ่งยานำในแต่ละคากเวลาจะมีค่าเท่ากันหมายถึงกระแสไฟฟ้าที่ไหล ผ่านดัวหนึ่งยานำจะมีค่าเท่ากัน ณ ตำแหน่งเดียวกันในทุกคากเวลา

- แรงดันไฟฟ้าเฉลี่ยตอกคร่อมดัวหนึ่งยานำในแต่ละคากเวลาจะมีค่าเท่ากับคูณย์หมายถึงผลรวม ของผลคูณระหว่างแรงดันไฟฟ้าตอกคร่อมดัวหนึ่งยานำกับเวลา (volt-second) ในแต่ละคากเวลาจะมีค่า เท่ากับคูณย์

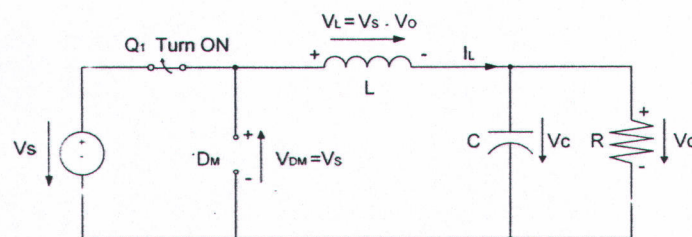
- กระแสไฟฟ้าเฉลี่ยของดัวเก็บประจุในแต่ละคากเวลาจะมีค่าเท่ากับคูณย์หมายถึงประจุที่ถูกเก็บ และที่คายของดัวเก็บประจุในแต่ละคากเวลาจะต้องเท่ากัน

- กำลังไฟฟ้าด้านเข้าเท่ากับแรงดันไฟฟ้าด้านออก ในกรณีนี้กำหนดให้อุปกรณ์ทุกดัวเป็นในทาง อุดมคติ จึงทำให้มีการสูญเสียกำลังงานเนื่องจากการทำงานของวงจร ประสิทธิภาพของวงจรจึง เท่ากับร้อยเปอร์เซ็นต์

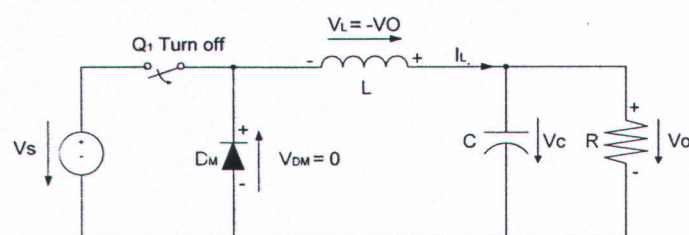
1.5.2.2 หลักการทำงานของวงจรบีก้อนเวอร์เตอร์ เพื่อที่จะออกแบบให้แรงดันไฟฟ้าด้านออกตามที่ต้องการ คือต้องเริ่มต้นจากเงื่อนไขที่ว่าแรงดันไฟฟ้าเฉลี่ยที่ตัดครึ่งด้วยหนึ่งในควบคุมเวลา มีค่าเท่ากับศูนย์ จากนั้นสามารถหากระแสไฟฟ้าผ่านด้วยหนึ่งในหน่วยได้ การวิเคราะห์การทำงานของสวิตช์ในแต่ละโหมดจะต้องวิเคราะห์ในสภาวะอยู่ด้วย วงจรสมมูลของวงจรตอนแรงดันไฟฟ้ากระแสตรงแสดงดังภาพที่ 1-41 และวงจรการทำงานของวงจรตอนแรงดันไฟฟ้ากระแสตรงแสดงดังภาพที่ 1-42



ภาพที่ 1-41 วงจรสมมูลของวงจรตอนแรงดันไฟฟ้ากระแสตรง

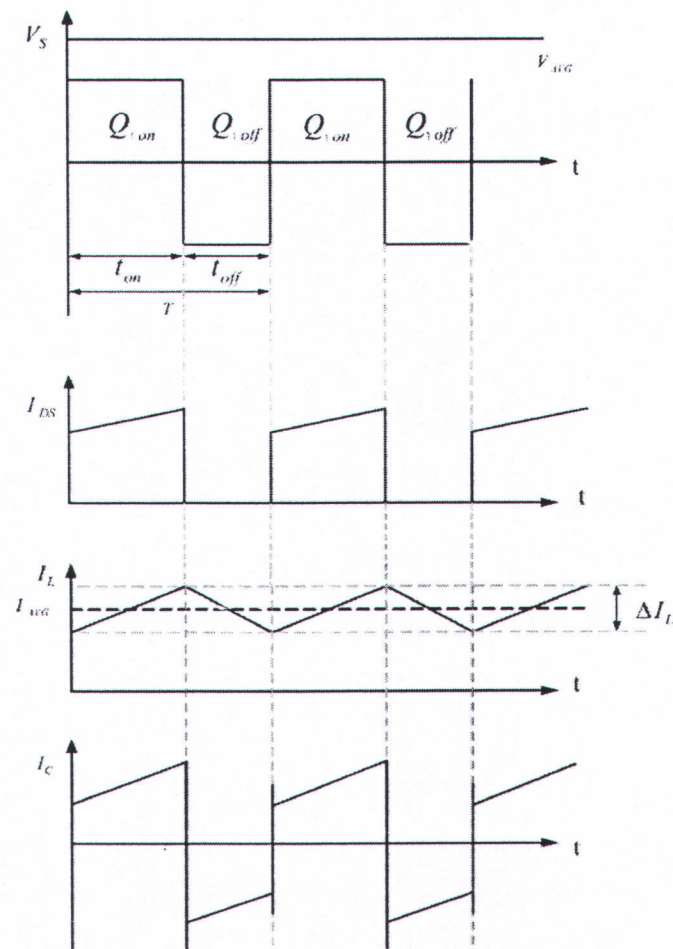


ก. โหมดที่ 1 สวิตช์ปิด



ข. โหมดที่ 2 สวิตช์เปิด

ภาพที่ 1-42 วงจรการทำงานของวงจรตอนแรงดันไฟฟ้ากระแสตรง



ภาพที่ 1-43 สัญญาณดังๆ ของวงจรตอนแรกด้านไฟฟ้ากระแสตรง

1.5.2.3 วิเคราะห์เมื่อสวิตช์ปิด เมื่อ D คือ ตัวตีไซเคิล (Duty Cycle) T คือความเวลาการทำงานของตัวตีไซเคิล จากภาพที่ 1-42 ก. เป็นการทำงานโหมดที่ 1 จะได้สัญญาณดังๆ ดังปรากฏในภาพที่ 1-43 ($0 < t \leq t_{on}$) มองเหตุ Q_1 ทำงานสวิตช์ปิด ($t = 0$) กระแสอินพุตให้ผ่าน Q_1 และตัวเหนี่ยวนำทำให้กระแสของตัวเหนี่ยวนำเพิ่มขึ้นจาก I_1 ที่ $t = 0$ เป็นเวลา I_2 ที่ $t = t_1$ โดยกระแสที่ให้ผ่านด้วยเหนี่ยวนำจะเท่ากับกระแสที่ให้ผ่าน R และแรงดันที่แหล่งจ่ายจะเท่ากับแรงดันที่ตอกคร่อมตัวเหนี่ยวนำบวกกับแรงดันที่ตอกคร่อม R ดังสมการที่ (1-21)

$$V_S = V_L + V_o \quad (1-21)$$

เมื่อ

$$V_L = L \frac{d_i}{dt}$$

$$\frac{d_{IL}}{dt} = \frac{V_s - V_o}{L} \quad (1-22)$$

dt ในกรณีอยู่ในช่วงเวลานำกระแส คือ $dt = DT$

$$\Delta_{IL, on} = \left(\frac{V_s - V_o}{L} \right) DT \quad (1-23)$$

1.5.2.4 วิเคราะห์เมื่อสวิตช์เปิด จากภาพที่ 1-42 ข. เป็นการทำงานโหมด 2 จะได้สัญญาณดังๆ ดัง ปรากฏในภาพที่ 1-43 ($t_1 < t \leq t_{off}$) mosfet Q_1 ทำงานสวิตช์เปิด ($t = t_1$) แรงดันเหนี่ยวนำย้อนกลับของตัวเหนี่ยวนำซึ่งต่ออนุกรมอยู่กับตัวด้านหน้า R ทำให้อาร์พุตมีค่ามากขึ้นจนทำให้ D_M ทำงานจึงทำให้ตัวเหนี่ยวนำคายพลังงานออกมาระหว่าง V_o เป็นแหล่งจ่ายด้วยดังนี้ ทำให้มีกระแสไหลผ่านด้านหน้า ดังสมการที่ (1-24)

$$V_D = V_L + V_o \quad (1-24)$$

แต่ $V_D = 0V$ จะได้ $0 = V_L + V_o$, $V_L = -V_o = L \frac{d_{IL}}{dt}$

$$L \frac{d_{IL}}{dt} = \frac{\Delta_{IL, off}}{\Delta t} = \frac{-V_o}{L} \quad (1-25)$$

dt ในกรณี อยู่ในช่วงเวลาหยุดนำกระแส คือ $dt = (1-D)T$ สามารถจัดรูปสมการใหม่ได้ดังสมการที่ (1-23)

$$\Delta_{IL, off} = -\left(\frac{V_o}{L} \right) (1-D)T \quad (1-26)$$

แทนค่า $t_{on} = DT$ และ $t_{off} = (1-D)T$ ลงในสมการที่ (1-26) จะได้

$$\frac{V_o}{V_s} = D \quad (1-27)$$

1.6 ทฤษฎีระบบควบคุมแบบไม่เชิงเส้นโดยทฤษฎีอนุพันธ์แบบแฟลต (Differential Flatness Based Control)

ในปี ค.ศ. 1995 ทฤษฎีระบบควบคุมแบบแฟลต (Flatness Theory) ถูกนำเสนอเป็นครั้งแรกโดยศาสตราจารย์ Fliess และผู้ร่วมวิจัย [20], [21] ในงานด้านสมการอนุพันธ์แบบพีชคณิต ระบบไม่เป็นเชิงเส้นจะแบบ (Flat) ถ้าในระบบมีเซตของตัวแปรอิสระ (independent variables) เท่ากับจำนวนของตัวแปรอินพุต นั่นคือตัวแปรสเตต x และตัวแปรอินพุต (หรือตัวแปรควบคุม) u สามารถแสดงในเทอมของตัวแปรเอาเด็ต y และสามารถแสดงในเทอมการอนุพันธ์ที่จำกัด โดยที่จะไม่ประยุกต์สมการอนุพันธ์ในระบบอีกเลย เพื่อความชัดเจนยิ่งขึ้น พิจารณาระบบไดนามิกส์แบบไม่เชิงเส้นในรูปแบบทั่วๆ ไปดังนี้

$$\begin{cases} \dot{x}(t) = f(x(t), u(t)) \\ y(t) = h(x(t), u(t)) \end{cases} \quad (1-28)$$

โดยที่

$$x = [x_1, x_2, \dots, x_n]^T; \quad x \in \mathbb{R}^n \quad (1-29)$$

$$u = [u_1, u_2, \dots, u_m]^T; \quad u \in \mathbb{R}^m \quad (1-30)$$

$$y = [y_1, y_2, \dots, y_m]^T; \quad y \in \mathbb{R}^m \quad (1-31)$$

$f(\cdot)$ และ $h(\cdot)$ คือฟังก์ชันไม่เชิงเส้นที่ต่อเนื่อง (smooth nonlinear functions) และ $(n, m) \in \mathbb{N}$ ยิ่งกว่านั้นเรากำหนดให้ $m \leq n$.

ดังแสดงในภาพที่ 1-44 ระบบควบคุมแบบแฟลตที่ไม่เป็นเชิงเส้นจะถูกเทียบเคียงคล้ายๆ กับระบบควบคุมที่สามารถควบคุมได้ในระบบเชิงเส้น ระบบจะแบบถ้าตัวแปรเอาเด็ต y มีเงื่อนไขดังนี้

- ตัวแปรเอาเด็ต y , สามารถเขียนให้อยู่ในฟังก์ชันของตัวแปรสเตต x , ตัวแปรอินพุต u , และอนุพันธ์เทียบกับเวลาที่มีลำดับที่ α

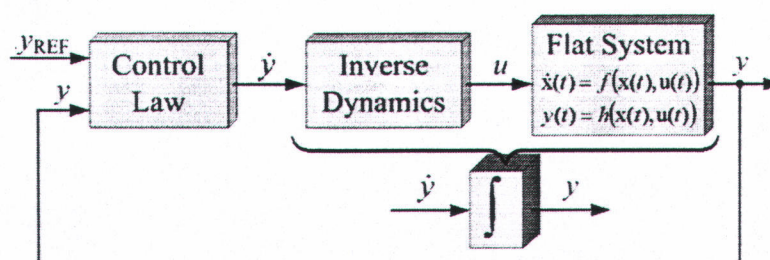
$$y = \phi(x, u, \dot{u}, \dots, u^{(\alpha)}) \quad (1-32)$$

- ตัวแปรสเตตทุกด้วย x_i และตัวแปรอินพุตทุกด้วย u_i , สามารถเขียนให้อยู่ในฟังก์ชันของตัวแปรเอาเด็ต y , และอนุพันธ์เทียบกับเวลาที่มีลำดับที่ β

$$x = \varphi(y, \dot{y}, \dots, y^{(\beta)}) \quad (1-33)$$

$$u = \psi(y, \dot{y}, \dots, y^{(\beta+1)}) \quad (1-34)$$

โดยที่ $\phi(\cdot)$, $\varphi(\cdot)$, และ $\psi(\cdot)$ คือฟังก์ชันที่มีการแมบเป็นเชิงเส้น



ภาพที่ 1-44 แนวคิดระบบควบคุมแบบแฟลต ซึ่ง y คือตัวแปรเอาต์พุต y_{REF} คือตัวแปรเอาต์พุตที่เราอ้างอิง y คือตัวแปรอินพุตที่ควบคุม

ถ้าตัวแปรเอาต์พุตที่เรานำไปถูกพิสูจน์ได้ว่ามีคุณสมบัติที่เป็นตัวแปรที่แบบ y ตัวแปรเอาต์พุตที่เราอ้างอิง y_{REF} ก็จะตรงไปตรงมา ไนนา mik's ของค่าผิดพลาดสามารถคำนวณได้ โดยที่มีการกำหนดสัญญาณตัวแปรอินพุตตัวใหม่ v_i เกิดขึ้น (ดังภาพที่ 1-44) คือ

$$0 = \left(y_i^{(\beta+1)} - y_{i,\text{REF}}^{(\beta+1)} \right) + K_\beta \left(y_i^\beta - y_{i,\text{REF}}^\beta \right) + \dots + K_0 \left(y_i - y_{i,\text{REF}} \right) \quad (1-35)$$

ดังนั้น

$$\begin{aligned} v_i &= y_{i,\text{REF}}^{(\beta+1)} + K_\beta \left(y_{i,\text{REF}}^\beta - y_i^\beta \right) + \dots + K_0 \left(y_{i,\text{REF}} - y_i \right) \\ &= y_i^{(\beta+1)} \end{aligned} \quad (1-36)$$

ซึ่ง K_0, \dots, K_β คือเซตของตัวแปรของตัวควบคุมและแทนตัวอนุพันธ์ที่สูงที่สุดของ y_i ในเทอมของตัวแปรอินพุตด้วย v_i ตามสมการที่ (1-34) ได้ผลลัพธ์ที่เราเรียกว่าอินเวอร์ไนนา mik's (inverse dynamics) [22] คือ

$$\mathbf{u} = \psi(y, \dot{y}, \dots, y^\beta, \mathbf{v}) \quad (1-37)$$

ที่ซึ่งตัวควบคุมอินพุตถูกคำนวณได้ โดยที่ขึ้นอยู่กับตัวแปรเอาต์พุต y ที่ได้จากการวัดและตัวแปรเอาต์พุตที่เราอ้างอิง y_{REF} เช่นของตัวแปรของตัวควบคุม K_β, \dots, K_0 ถูกเลือกขึ้นอยู่กับตำแหน่งรากในระบบวงปิดที่เราต้องการ สามารถเขียนได้ดังนี้

$$p(s) = s^{\beta+1} + \lambda_\beta s^\beta + \dots + \lambda_2 s^2 + \lambda_1 s + \lambda_0 \quad (1-38)$$

เห็นได้ชัดเจนว่า ค่าผิดพลาด $e_i = y_i - y_{i,\text{REF}}$ แสดงได้ดังนี้

$$e_i^{(\beta+1)} + K_\beta e_i^\beta + \dots + K_0 e_i = 0 \quad (1-39)$$

ดังนั้น การเลือกค่าที่เหมาะสมของตัวแปรของตัวควบคุมจะทำให้โดยกำหนดตำแหน่งรากตามสมการลักษณะสมบัติ (Characteristic Equation)